Statyuahr N3BECTИЯ

АКАДЕМИИ НАУК АРМЯНСКОЙ ССР

Sthubyuuuu арыльфальшьгр исгри СЕРИЯ ТЕХНИЧЕСКИХ НАУК

theyur

ÉPEBAH

Журнал излается с 1947 г. Выходит 6 раз в год на русском языке

ы и в и ч с и ч и ч и ц в ч в и

հաստան Մ. Վ. (պատ. խմբադիր), Ազանց Հ. Տ. պատ. խմբադրի տեսակալ), Ալերսենսկի Վ. Անանյան Ա. Կ. , Զաղոյան Մ. Ա., Հակոբյան Ռ. Ե. Սարզսյան Յու. Լ., Ստակյան Մ. Գ., Տեր-Ազարև Ի. Ա., Փինազյան Վ. Լ (պատ. խմբադրի Գատասխանատոււ թարտուդար Սահեփանյան Ջ. Կ.

РЕДАКЦИОННАЯ КОЛЛЕГИЯ

Кисьян М. В. (отнет. редактор), Адонц Г. Т. (зам. ответ. редактора).

Алексеевский В. В., Ананян А. К. , Акопян Р. Е., Задоян М. А.,

Пинаджен В. В. (зам. ответ. редактора), Сиркиенн Ю. П.,

Стакян М. Г., Тер-Азарыев И. А.,

Ответственный секретары Степанян З. К.

О Издательство АН АрмССР.
Известия АН АрмССР (серия техн. наук), 1982.

Տեխնիկական ահշիա XXXV, X- 2, 1982

Серии гехнических плук

МАШИНОСТРОЕНИЕ

икшита и и

ПРОЕКТИРОВАНИЕ РЕГУЛИРУЕМЫХ МЕХАНИЗМОВ ПУТЕМ КОМБИНИРОВАНИЯ ДВУХ ЧЕТЫРЕХЗВЕННЫХ ГЕНЕРАТОРОВ ЛИНЕПИОП ФУПКЦИИ

Повый метод синтеза регулируемых направляющих и передаточных рычажных механизмов, разработанный в [1, 2], позволяет комбинировать четырехзвенные механизмы, воспроизводящие одинаковую линейную функцию. В [1, 2] авторы исходили из возможности комбииярования прямолинейных и круговых направляющих четырехзяениикои с приближенно-равиомерным движением чертищей точки,

В настоящей работе указанный метод получает дальнейшее развитие, ізключающееся в разработке алгоритмов проектировання регуля руемых механизмов на базе комбинации двух персдаточных четырехзвенников, приближенно воспроизводящих одну и ту же линейную функцию.

1. Пусть имеем передаточные шарянрные четырехзвенники АВСО и АВ'С'Д' с одинаковой длиной стойки, приближенно поспроизводящие в данном интервале [9, 90] = [9, 90] произвольную линейную функцию 4 = k(=) Жестко скрепляя входные звенья АВ и АВ' в положениях, соответствующих началу приближения под углом, равным $\angle ABB' = \varphi_0 - \varphi_0$ (рис. 1. а), можно заметить, что угол между ввеньями CD и $C^{\prime}D^{\prime}$ подученного шестизвенника при повороте звена ABB на угол — то остается приближенно-постоянным: СDC' = $pprox rac{1}{20} - rac{1}{20}$. Это свойство позволяет явести в состав механизма набыточную связь путем жесткого соединения звеньев СД и С'Д' (рис. 1. а). Поставин затем механизм на звено ABB' и отсоединив звено B'C'. получим шариирный четырехэвенник АДСВ (рис. 1, 6), шатунная точка С' которого во время поворота обращенной стойки АД на угол 🚛 👨 описывает траскторию, достаточно близкую к дуге окружвости радиуса B(C) с центром в точке B'.

Ввиду воспроизведения исходимия четырехзвенниками линейной функции можно варынровать углом закрепления ВАВ' между авеньями АВ и АВ'. Действительно, если уменьшим указанный угол на величи ну α , то ванимосвязанно наменится угол CDC' на величниу $\beta=k\alpha$, что приведет к уменьшению общего интервала линейного перемещения иыходных звеньев СП и С'D. Поэтому после вышеописанных преобразований получается множество круговых напранляющих механизмов с разными длинами окружного участка шатуяной кривой гочки С. Сказаиное появоляет создание механизма АДСВ (рис. 1, в), в которой рычаг C'D с шатуном CD соединяется установочно-подвижно, г. е. с возможностью фиксании с ним под любым углом.

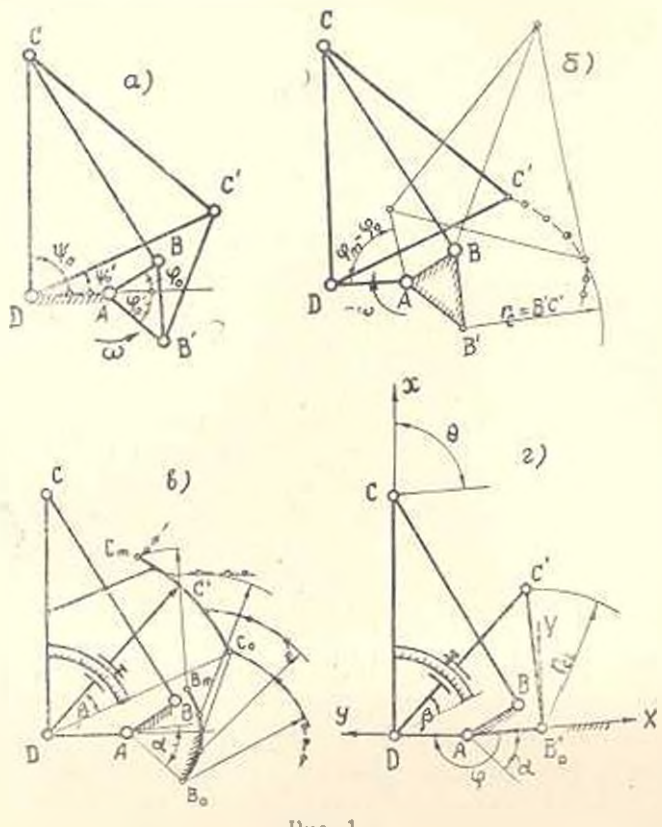


Рис. 1.

Отсюда следует, что для перенастройки механизма на требуемую длину дуги приближения необходимо изменение угла CDC' и интервале $|\psi_0 - \psi_0| \leqslant \angle CDC' \leqslant |\psi_0 - \psi_0|$.

Для построения регулируемого кругового направляющего механизма, изображенного на рис. 1, в, взяты два передаточных мехапизма, приближенно воспроизводящие линейную функцию >= 0,50 на отрезке [0...40°] при изменении аркумента о на отрезке [0...80°] с параметрами: d=d'=1, a=0.816227, b=3.265306, c=3.253061, $\varphi_0=31.2^\circ$, 88.79° , a=0.9999, b', 1.8000, c'=2.8000 $\phi' = -44,64^{\circ}, \ \phi'_0 = 20,83^{\circ}.$ Соответствующие максимальные отклонения в передаточном отношении равны: $\Delta u = 0.008$; $\Delta u' = 0.013$.

При регулирования механизма изменяются как длина дуги приближения, так и центры соответствующих дуг и получается, что на шатуне DC имеется дуга $C_0C_m = c'(\phi_m + \phi_0')$, любая точка которой

при движении механизма вычерчивает дугу окружности радиуса b' с центром, расположенным на дуге B_0B_m (на рисупке дуги C_0C_m и B_0B_m материализированы и неподвижно соединены с шатувом DC и стойкой).

На основе полученного кругового направляющего механизма (рис. 1. в) построим шестизвенный механизм с регулируемым углом выстоя.

С этой целью освободим звено AB', которое жестко соединено со звеном AB и присоединим ранее отсоединенное звено B'C' (рис. 1, г). Теперь при непрерывном вращении кривошила выходное звено AB' движется с остановками с углом выстоя

$$\varphi_b = \varphi_m - \varphi_0 - a = \varphi_m - \varphi_0 - \beta/k.$$

Регулирование механизма для получения требуемого угла выстоя можно произвести на ходу, автоматически устанавливая по шкале угла в соответствующее его значение.

Определим отклонения точки C' построенного механизма от окружности при различных значениях угла выстоя. Отклонение i-го положения точки C' от окружности радиуса B'C' вычисляем по формуле

$$\Delta r = r_c - b = \sqrt{X_c^2 + Y_{C_I}^2} - b,$$

где r_{c} — радиус-вектор i-го положения C_{i} точки C', проведенной из положения выстоя B_{0}' центра шарнира B', где помещено начало неподвижно снязанной со стойкой координатной системы $B_{0}XY$, причем ось $B_{0}'X$ направлена по вектору AB_{0} ; X_{c} , Y_{c} — координаты точки C' в i-ом положении кривошила AD_{i} определяемом углом

$$X_C = x_C \cos \theta_i - y_C \sin \theta_i - a + d \cos \tau; \qquad (1)$$

$$Y_{ij} = x_{ij} \sin \theta_i + y_{ij} \cos \theta_j + d \sin \varphi_i. \tag{2}$$

В равенствах (1), (2) x_i и y_c — координаты точки C' в жестко связанной с шатуном CDC' системе Dxy, а θ_i — угол между осями Dx и B_0^*X . Эти величины имеют выражения:

$$x_C = c' \cos (\phi_0 - \phi_0 - \beta);$$

$$y_C = -c' \sin (\phi_0 - \phi_0 - \beta);$$

$$\theta_1 = \arccos \left[-\frac{1}{1 + B^2} \left(A + B \sqrt{1 + B^2 - A^2} \right) \right].$$

где

$$\frac{d^2 + a^2 + c^2 - b^2 - 2da\cos(\varphi_0 - \varphi' - \alpha - \varphi')}{2c\left[d\cos \varphi_0 - a\cos(\varphi_0 - \varphi_0 - \alpha)\right]}$$

$$= \frac{\sin\varphi_1 - a\sin(\varphi_0 - \alpha)}{d\cos\varphi_1 - a\cos(\varphi_0 - \varphi_0 - \alpha)}$$

Вычисления, проведенные на ЭВМ "Напри-2", показали, что максимальные по модулю относительные отклонения точки от окружности имеют место при больших значениях угла выстоя. При = - $\varphi_0=80$ °, $\Delta r_{\rm max}=0.0062$, и соответствующее угловое отклонение выходного звена AB от положения выстоя равно 0.3 град.

2. Аналогичным образом, на базе двух передаточных кривошинно-ползунных или коромыслово-ползунных механизмов, поспроизводящих олну и ту же линейную функцию, можно построить регулируемые прямолинейно-направляющие механизмы. Пусть два кривошинно-ползунных механизма ABC и A'B'C' при вращении кривошинов AB и A'B' на равные углы $\tau = \varphi_m = \varphi_0 = \varphi_m^{-1} = \varphi_0^{-1}$ приближению воспроизводят линейную функцию $S = k(\varphi)$. Параллельным переносом одного из механизмов совместим точки A и A' и жестко соединим кривошины AB и A'B' в положениях, соответствующих началу приближения и определяемых углами φ_0 и φ_m^{-1} . Так как перемещение ползунов при вращении общего кривошина ABB' на угол k происходит по одному и тому же линейному закону, то расстояние между шарнирами C и C' остается приближенно-постоянным. Следовательно, ползуны можно жестко соединить,

Сделав неподвижным едвоенный ползун и освободив точку A (рис. 2, a), заключаем, что она при повороте звена CB на некоторый угол Φ_h движется по приближенно-прямолинейной трасктории. Угол закрепления кривошилов AB и AB' можно варъпровать, изменив при этом ллину стойки CC' и шатуна BB' (на рис. 2, а угол закрепления кривошилов изменен на величину a).

Механизм по рис. 2, а с регулируемым прямолинейным ходом шатунной точки A получен комбинированием двух коромыслово-ползунных механизмов, воспроизводящих лицейную функцию $S=1.0345\phi$ с размерами: a=1.7114; b=0.3567; e=1.3547; $\phi_0=238.58^\circ$; $\phi_m=301.42^\circ$; a'=1; b'=2.078; e'=1.529; $\phi_0=204.66^\circ$; $\phi_m=267.52$.

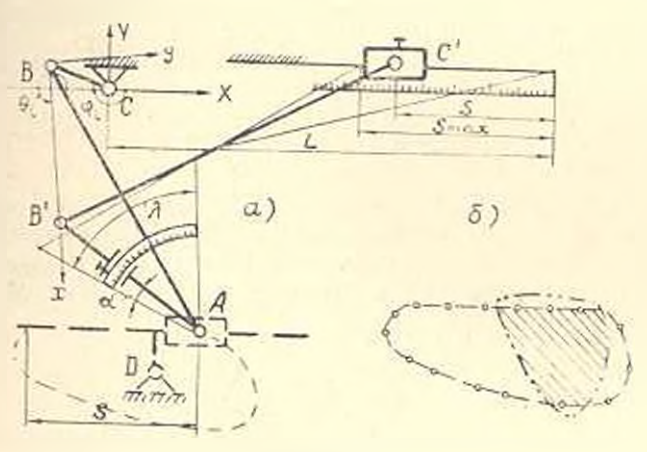
Регулирование механизма производится при неподвижной кинематической цепи ABC, фиксированной в положении, соответствующем началу приближения. При снятом фиксаторе перемещением ползуна C' по неподвижной шкале устанавливается значение длины приближенно прямолинейного хода S гочки A. При этом указатель шатуна BAB укажет значение угла π , определяющее соответствующую величину угла закрепления BAB'. Обе шкалы тарируются по соотношению

$$S = k(t, -2).$$

При изменении τ в интервале $0 = \lambda$ длина примодинейного хода S точки A уменьшается от $S_{max} = k\lambda$ до нули.

Анализ четырехзвенников, соответствующих различным S, показал, что с увеличением S точность воспроизведения прямой уменьшается. При $S = S_{min} = 1.134603$, $\Delta_{max} = 0.008$.

С целью получениия механизма с остановками присоединим к шатуиной точке A и стойке полученного четырехзвенного механизма CBB'C' лвухповодковую группу, состоящую из ползуна и подвешенной кулисы с центром вращения в точке D. Кулису расположим так, чтобы по время движения шатунной точки A по приближенио-прямолинейному участку шатунной кривой продольная ось кулисы совпала с указанным отрезком. Тогда на интервале поворота Φ_b входного звена BC выходная кулиса будет иметь выстой. При произвольном выборе положения центра вращения D кулиса может совершать возвратно колебательног движение с выстоем.



Pac. 2.

С целью получения одностороннего периодического поворота выходной кулисы для всего интервала регулирования угла выстоя достаточно построить траектории шатуиной точки A четырехзвенника CBB'C' при минимальном и максимальном значениях угла выстоя (рис. 2, б) и номестить центр вращения D кулисы и общей (заштрихованной) области, ограниченной этими траекториями. При этом величила угла выстоя Φ_b входного звена BC не зависит от выбора точки D и вычасляется по выражению

$$\Phi_b = \theta_I - \theta_m \,, \tag{4}$$

где

$$\begin{vmatrix} 0_1 = -\arcsin\left[\frac{\sin((\varphi_0 + \alpha) + e)}{b}\right] & \varphi_0 + \alpha > \frac{3}{2} = 0 \\ 0_m = -\arcsin\left[\frac{\sin((\varphi_0 + \alpha) + e)}{b}\right] & \varphi_0 + \alpha > \frac{3}{2} = 0 \\ 0_m = -\arcsin\left(\frac{\sin((\varphi_0 + \alpha) + e)}{b}\right) & \varphi_0 + \alpha > \frac{3}{2} = 0 \\ 0_m = -\arcsin\left(\frac{\sin((\varphi_0 + \alpha) + e)}{b}\right) & \varphi_0 + \alpha > \frac{3}{2} = 0 \\ 0_m = -\arcsin\left(\frac{\sin((\varphi_0 + \alpha) + e)}{b}\right) & \varphi_0 + \alpha > \frac{3}{2} = 0 \\ 0_m = -\arcsin\left(\frac{\sin((\varphi_0 + \alpha) + e)}{b}\right) & \varphi_0 + \alpha > \frac{3}{2} = 0 \\ 0_m = -\arcsin\left(\frac{\sin((\varphi_0 + \alpha) + e)}{b}\right) & \varphi_0 + \alpha > \frac{3}{2} = 0 \\ 0_m = -\arcsin\left(\frac{\sin((\varphi_0 + \alpha) + e)}{b}\right) & \varphi_0 + \alpha > \frac{3}{2} = 0 \\ 0_m = -\arcsin\left(\frac{\sin((\varphi_0 + \alpha) + e)}{b}\right) & \varphi_0 + \alpha > \frac{3}{2} = 0 \\ 0_m = -\arcsin\left(\frac{\sin((\varphi_0 + \alpha) + e)}{b}\right) & \varphi_0 + \alpha > \frac{3}{2} = 0 \\ 0_m = -\arcsin\left(\frac{\sin((\varphi_0 + \alpha) + e)}{b}\right) & \varphi_0 + \alpha > \frac{3}{2} = 0 \\ 0_m = -\arcsin\left(\frac{\sin((\varphi_0 + \alpha) + e)}{b}\right) & \varphi_0 + \alpha > \frac{3}{2} = 0 \\ 0_m = -\arcsin\left(\frac{\sin((\varphi_0 + \alpha) + e)}{b}\right) & \varphi_0 + \alpha > \frac{3}{2} = 0 \\ 0_m = -\arcsin\left(\frac{\sin((\varphi_0 + \alpha) + e)}{b}\right) & \varphi_0 + \alpha > \frac{3}{2} = 0 \\ 0_m = -\arcsin\left(\frac{\sin((\varphi_0 + \alpha) + e)}{b}\right) & \varphi_0 + \alpha > \frac{3}{2} = 0 \\ 0_m = -\arcsin\left(\frac{\sin((\varphi_0 + \alpha) + e)}{b}\right) & \varphi_0 + \alpha > \frac{3}{2} = 0 \\ 0_m = -\arcsin\left(\frac{\sin((\varphi_0 + \alpha) + e)}{b}\right) & \varphi_0 + \alpha > \frac{3}{2} = 0 \\ 0_m = -\arcsin\left(\frac{\sin((\varphi_0 + \alpha) + e)}{b}\right) & \varphi_0 + \alpha > \frac{3}{2} = 0 \\ 0_m = -\arcsin\left(\frac{\sin((\varphi_0 + \alpha) + e)}{b}\right) & \varphi_0 + \alpha > \frac{3}{2} = 0 \\ 0_m = -\arcsin\left(\frac{\sin((\varphi_0 + \alpha) + e)}{b}\right) & \varphi_0 + \alpha > \frac{3}{2} = 0 \\ 0_m = -\arcsin\left(\frac{\sin((\varphi_0 + \alpha) + e)}{b}\right) & \varphi_0 + \alpha > \frac{3}{2} = 0 \\ 0_m = -\arcsin\left(\frac{\cos((\varphi_0 + \alpha) + e)}{b}\right) & \varphi_0 + \alpha > \frac{3}{2} = 0 \\ 0_m = -\cos((\varphi_0 + e)) & \varphi_0 + \alpha > \frac{3}{2} = 0 \\ 0_m = -\cos((\varphi_0 + e)) & \varphi_0 + \alpha > \frac{3}{2} = 0 \\ 0_m = -\cos((\varphi_0 + e)) & \varphi_0 + \alpha > \frac{3}{2} = 0 \\ 0_m = -\cos((\varphi_0 + e)) & \varphi_0 + \alpha > \frac{3}{2} = 0 \\ 0_m = -\cos((\varphi_0 + e)) & \varphi_0 + \alpha > \frac{3}{2} = 0 \\ 0_m = -\cos((\varphi_0 + e)) & \varphi_0 + \alpha > \frac{3}{2} = 0 \\ 0_m = -\cos((\varphi_0 + e)) & \varphi_0 + \alpha > \frac{3}{2} = 0 \\ 0_m = -\cos((\varphi_0 + e)) & \varphi_0 + \alpha > \frac{3}{2} = 0 \\ 0_m = -\cos((\varphi_0 + e)) & \varphi_0 + \alpha > \frac{3}{2} = 0 \\ 0_m = -\cos((\varphi_0 + e)) & \varphi_0 + \alpha > \frac{3}{2} = 0 \\ 0_m = -\cos((\varphi_0 + e)) & \varphi_0 + \alpha > \frac{3}{2} = 0 \\ 0_m = -\cos((\varphi_0 + e)) & \varphi_0 + \alpha > \frac{3}{2} = 0 \\ 0_m = -\cos((\varphi_0 + e)) & \varphi_0 + \alpha > \frac{3}{2} = 0 \\ 0_m = -\cos((\varphi_0 + e)) & \varphi_0 + \alpha > \frac{3}{2} = 0 \\ 0_m = -\cos((\varphi_0 + e)) & \varphi_0 + \alpha > \frac{3}{2} = 0 \\ 0_m = -\cos(($$

При заданных размерах механизма из формулы (4) получим:

$$\max \Phi_b = \Phi|_{a=0} = 145.4^\circ, \qquad \min \Phi_b = \Phi|_{a=0} = 0.$$

ЕрПИ вм. К Маркса

Поступило 20 1, 1982

Կ. Մ. ԵՂԻՇՅԱՆ

ԿԱՐԳԱՎՈՐՎՈՂ ՄԵԽԱՆԻԶՄՆԵՐԻ ՆԱԽԱԳԾՈՒՄԸ ԳԾԱՅԻՆ ՖՈՒՆԿՑԻԱՅ<mark>Ի ԵՐԿ</mark>ՈՒ ՔԱՌՕՂԱԿ ԴԵՆԵՐԱՏՈՐՆԵՒ ԶՈՒԳԱԿՑՄԱՆ ԵՂԱՆԱԿՈՎ

B. of dindined

Հողվածում թինարկվում է կարգավորվող ուղղագիծ և շրջանային ուղղորդ մեխանիզմների մետրական սինկեզի նոր եղանակ, որը կույլ է տալիս ստանալ վեցօղակ մեխանիզմներ, որոնց չափերի պարզ վերալարման միջոցով կարևլի է ապահովել ելբի օղակի կանդառի պահանջվող միջակայրում փոփոխվող տևողություն։ Բերված են քվային օրինակներ։

ЛИГЕРАТУРА

1. Егишян к. М., Саркисял Ю. Л. Синтез регулируемых примолниейных и круговых направляющих механизмов «Изпестия вузов Машиностроение», 1975. № 5.

2. Егииян К. М., Макарян Л. М., Саркисян Ю. Л. Пекоторые задачи перемещающих механизмов. «Илиестия АН Арм ССР (серия Т. Н.)», т. XXX, № 4, 1977.

Տեխաիկական գիտութ, սեբիա

XXXV, № 2, 1982

Сепия технических наук

МАШИНОСТРОЕНИЕ

HRADE M. II

К ВОПРОСУ ОБ АПЕРИОДИЧЕСКОЙ НЕУСТОИЧИВОСТИ ТОКАРИОГО СТАНКА

Точность обработки на металлорежущих станках различного функшионального назначения зависит от устойчивости формообразующих авижений и в значительной степени обуславливается величиной и направлением силы резания, характеристикой упругой системы (УС) и процесса резания (ПР).

Целью исследования является теоретическое определение условий возникновения апериодической исустойчивости замкнутой динамической системы станка, выражаемой нарастающим отклонением режущего инструмента в обрабатываемую заготовку, приводящих к нарушению точности, недопустимым деформациям, а подчас и к поломкам режущего инструмента.

Решение этой задачи приобретает особое значение для станков с ЧПУ, когда режущий инструмент и заготовка могут иметь любое взаимное расположение, вследствие чего и результирующая сила резания в пространстве может ориентироваться в любом направлении, приволя к именению направлении смещений суппортной группы.

Допуская лиценность упругости, пропорциональность сил сопротивления скорости колебательного движения, пренебрегая смещениями заготовки (обрабатывается весьма жесткая заготовка), уравнения движения УС суппорта при двух стененях свободы в обобщенной системе координат (рис. 1) представим в виде [1];

$$| m_1 + h_1 + C_1 = P \cos \beta$$

$$| m_2 + h_2 + C_2 = P \sin \beta,$$
(1)

где m_1 и m_2 приведенные массы УС суппорта; h_1 и h_1 коэффициенты сил сопротивления; C_1 и C_2 — главные жесткости системы (C_1 — C_{max} . C_2 = C_{min}); P— действующая сила; β — угол между направлениями оси максимальной жесткости и действия силы; ζ и у— обобщенные координаты, значения которых определяются как линейными, так и крутильными смещениями суппорта относительно центра жесткости.

Согласно [1], динамическую характеристику. УС суппорта $W_{\rm ус}$, как отношение выходной координаты Y к входной P можно выразять следующей формулой:

$$W_{3VC} = \frac{\cos(\alpha + \beta)\sin\beta}{C_2(T_1^2\rho^2 + T_2\rho + 1)} - \frac{\sin(\alpha + \beta)\cos\beta}{C_1(T_1^2\rho^2 + T_2\rho + 1)},$$
 (2)

где T_1 и T_1 — соответствующие принятым степеням свободы инерционные постоянные времени, c; T_* и T_2 — постоянные времени демпфирования в соответствующей степени свободы, c; p— оператор Лапласа.

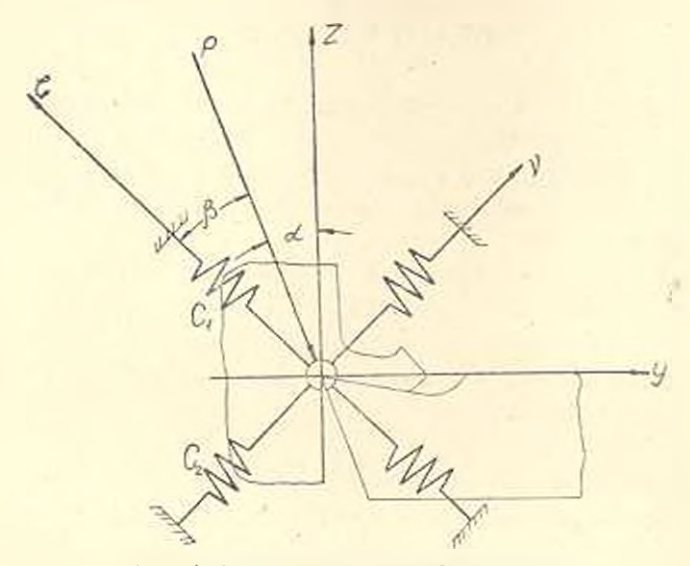


Рис. 1. Расчетняя схема УС суппорта.

При p=0 ($\omega=0$, где $\omega=$ круговая частота) получаем статическую характеристику ЭУС суппорта:

$$K_{\rm DC} = \frac{Y}{P} = \frac{\sin \beta \cdot \cos (\alpha + \beta)}{C_2} - \frac{\cos \beta \cdot \sin (\alpha + \beta)}{C_1}.$$
 (3)

Данное выражение служит основанием для определения условия отсутствия апериодически нарастающего отклонения суппорта, выраженного неравенством [1]:

$$1 = \frac{K_{y\alpha} \cdot b}{C_1} \left| \frac{C_1}{C_2} \sin \beta \cos (\alpha + \beta) - \cos \beta \sin (\alpha + \beta) \right| > 0.$$
 (4)

Как видно, условие апериодической устойчивости системы зависит от величии главных жесткостей рассматриваемой УС (C_1 и C_2), условной удельной силы резания K_{y_2} направления действия результирующей силы резания α и β , ширниы срезаемого слоя δ .

Условие (4) для расематриваемой модельной системы суппорта (рис. 1) может быть использовано для установления характера изме-

иення отношения максимальной жесткости к минимальной при различных направлениях силы резания, определяемых углами α и β и коэффициентом резания $K_0 = K_{va} \cdot b$.

Пз (4) следует, что, если

$$\frac{C_1}{C_2}\frac{A_1}{C_3}\sin 3\cos (\alpha + \beta) > 0,$$

TO

$$\frac{C_1}{C_2} = \frac{C_1}{K_0 \sin \beta \cos (\alpha + \beta)} + \frac{\cos \beta \sin (\alpha + \beta)}{\sin \beta \cos (\alpha + \beta)}$$
(5)

Для удобства анализа допустим, что $\frac{K_{\rm p}}{G_{\rm k}} = 1$, тогда:

$$\frac{C_1}{C_2} = \frac{1 + \cos \beta \cdot \sin (\alpha + \beta)}{\sin \beta \cdot \cos (\alpha + \beta)}$$
(6)

Расчеты условия впериодической устойчивости (6) производились на ЭВМ «Наири-2» при значениях угла 3 в пределах $0+360^\circ$ через каждые 15°. Для каждого значения угла 3 определялась величина $\frac{C_1}{C_2}$ при различных значениях угла 2 с его изменением в диапизоне $0\div360^\circ$ через каждые 10°.

На рис. 2 показаны графики изменения $\frac{C_1}{C_2}$ для этих значении углов β и α при $\beta=0$ т 180 , $\alpha=0$ 90° и 280 360° , учитывая идентичность результатов расчетных данных при $\beta>180^\circ$ и $\theta<180^\circ$.

Как видно, с изменением углов 8 и α пеличина $\frac{C_1}{C_2}$ изменяется в песьма широких пределах, имея как положительные, так и отрицательные значения. В соответствии с условием (6) на диаграммах показаны области апериодической устойчивости и неустойчивости, выделены также области абсолютной апериодической устойчивости, которая зависи от отношения максимальной жесткости суппортной группы к минимальной.

В пределах изменения угла $\beta=0 \div 90$ характер измененя $\frac{C_1}{C_2}$ лях значений $\alpha=0 \div 30^\circ$ идентичен и их значения положительны. Наибольшая величина отношения имеет место при $\beta=0^\circ$ при всех указаних значениях угла α , а наименьшая—при $\beta=30 \div 45^\circ$. С дальнейшим увеличением угла β область эпериолической устойчивости для данных значений α уменьшается с увеличением угла β до 45° , а затем увеличенией α уменьшается с увеличением угла β до 45° , а затем увеличивается. При $\beta=45 \div 75^\circ$ получаются отринательные значения α . Последующее увеличение угла α приводит к резкому изменению закономерности α что хорошо прослеживается на диаграммах с об значением областей апернодической устойчивости и пеустойчивости.

На рис. 26 приведены закономерности изменения $\frac{C}{C}$ в области $\beta=0 \div 180^\circ$ при $\alpha=280^\circ - 360^\circ$. В этом случае существенно, что при $\beta=15:90^\circ$ значения $\frac{C}{C}$ положительны при всех углах α , в при $\beta>90^\circ$ — преобладают его отрицательные значения.

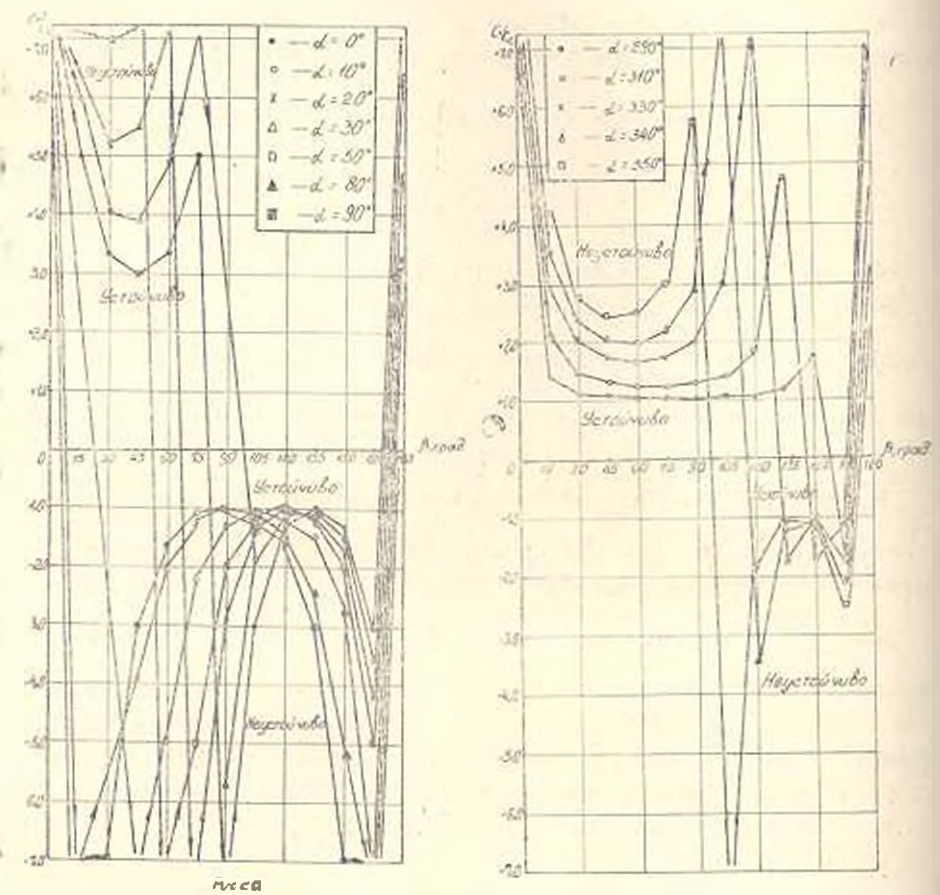


Рис. 2. Закономерности изменения отношения максимальной жесткости УС суппорта к минимальной в зависимости от направления действия силы резания: а) при эпачениях угла « 0÷90°; б) при значениях угла « 280÷360°.

Выводы

- 1. Отношение максимальной жесткости УС суппорта к минимальной при его положительных и отрицательных значениях в зависимости от направления результирующей силы резания, как конструктивнотехнологический фактор, может быть принято в качестве показателя апериодической устоичивости узла.
- 2 На этой основе даны зависимости отношений экстремальных значений жесткостей УС суппорта от направления результирующей силы

резания при его изменении в отношении оси максимальной жесткости и танганинальной составляющей силы резания, позволяющие установить области апериодической устойчивости и неустойчивости по этим параметрам. Наибольшей апериодической устойчивостью система суплорти обладает в случае совпаления направлений силы резания с направлением оси максимальной жесткости, паименьшей — в зависимости от угла а при значениях $\beta = 45 \div 165^\circ$ и $235 \div 330^\circ$.

3. Установлены значения отношения максимальной жесткости УС суппорта к минимальной, при которых она аппериодически абсолютно устойчива.

Вр. ванекий 1-д «Ерал»

Поступило 4 XI 1981

ч. п. вицацъ

ԵԱՌԱՏԱՑԻՆ ՀԱՍՏՈՑԻ ՈԶ ՊԱՐՄԵՐԱԿԱՆ ԱՆԿԱՅԱՆՈՒԹՅԱՆ ՀԱՐՑԵ ՎԵՐԱԵՐՅԱԼ

Uddinhaid

շետաղոտվում է ի՛վային ծրագրավորմամբ կատավարմող իստատային ըների ու պարբերական կայունության պայմաները, որոնք արտացոլում են ոչ պարբերական կայունության աահմանի կախաները, որոնք արտացոլում են ոչ պարբերական կայունության սահմանի կախանարիլունը կարման ուժի ուղղությունից և առավելագույն ու նվապարույն կարման ուժի որոշակ՝ ուղղության դեպրում ոչ պարբերական կայունության սահմանի արժնրավորումը կարելի է կատարել երկու կոչտությունների հարարհրության արժատական։ Գորություններ կարական և բացասական։ Գորություն ունեն այդ հարարհրության այնպիսի մեծություններ, որի դեպարոմ առավորության առավորության հայուն է կրարության ուժի քանկացած ուղղության պետրում։

ЛИТЕРАТУРА

- 1. Киоимов В А Динамика станков М, «Манинностроение», 1967. с. 359
- 2. Пановко Я. Г. Губанова И. И. Устойчивость и колебания упругих систем, М., «Наука», 1964, с. 336.
- 3. Стрелков С. А. Вредение и георию колебаний. М.—Л., ГИТТЛ, 1950, с. 339.

Серия технически

СТРОИТЕЛЬНАЯ МЕХАНИК

С. С. ДАРБИИЯН, А А ОВСЕПЯН

К ВОПРОСУ РЕШЕНИЯ ОБРАТНОЯ ЗАДАЧИ ТЕОРИИ СЕЯСМОСТОЯКОСТИ ДЛЯ УПРУГО-ПЛАСТИЧЕСКИХ СИСТЕМ

В статье дается методика решения обратной задачи теории сейсистойкости для упруго-пластических систем с одной степенью своболу (рис. 1). Аналогичная задача для упругих систем исследована в [1, 3]. При решении поставленной задачи принята билинейная диаграмма леформирования конструкций зданий или сооружений (рис. 2). Предполагается, что рассматриваемая система под сейсмическим воздействием претерпевает лишь сдвиговые колсбания. Допускается, что логарифмический декремент собственных колебаний системы о имеет одинаковые значения для упругих и пластических зон.

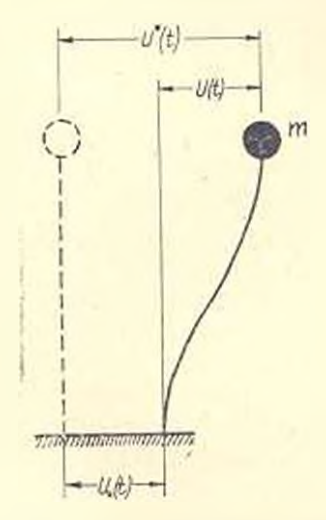


Рис. 1. Расчетная схема деформирования системы с одной степенью свободы.

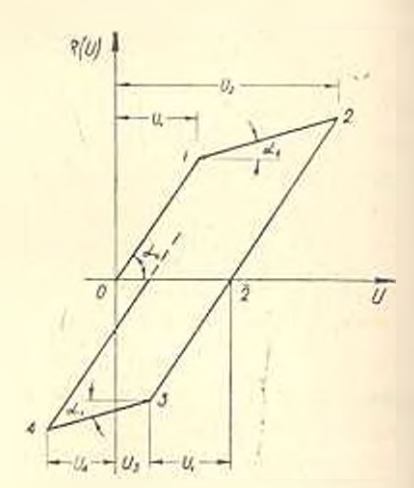


Рис. 2. Билинейная диаграмма деформирования.

Дифференциальное уравнение движения сейсмических колебаний системы с одной степенью свободы для упругой стадии (участа)
 при решении прямой задачи теории сейсмостойкости может быть записано в следующем виде [2]:

$$\bar{U}(t) + 2\varepsilon_0 \dot{U}(t) + \omega_0^* U(t) = -U_0(t), \tag{1.1}$$

где L(t) — (относительное) горизонтальное смещение массы m; $U_0(t)$ — искимое сейсмическое смещение основания системы; ω_0 и ε_0 — соответствению, круговая частота и коэффициент затухания.

И рис. I следует, что

$$U(t) = U^*(t) - U_0(t). (1.2)$$

Подставляя значения (1.2) в уравнение (1.1), после некоторых вреобразований получим [1, 3]:

$$\dot{U}_0(t) + \frac{w_0^*}{2} U_0(t) = f_0^*(t), \tag{1.3}$$

где

$$f_0^*(t) = \frac{1}{2z_0} U^*(t) + U^*(t) + \frac{\omega_0^*}{2z_0} U^*(t).$$

Когда движение переходит и зону упрочнения (участок 1—2), тогда U = - и для прямой залачи дифференциальное уравнение движения записывается следующим образом [2]:

$$U(t) + 2\varepsilon_1 \dot{U}(t) + \omega_1^2 U(t) = -U_0(t) - i\omega_0^2 U_0, \tag{1.4}$$

где
$$w' = \omega_0^2 (1-\lambda);$$
 $\epsilon_1 = \frac{\delta \omega_1}{2\pi} = \epsilon_0 (1-\lambda)^{\frac{1}{2}};$ λ нараметр упрочнения.

После аналогичного преобразования уравнение (1.4) приводится ■ виду:

$$\dot{U}_0(t) + \frac{\omega_1^2}{2\pi} U_0(t) = f_1^*(t), \tag{1.5}$$

cho

$$f_1'(t) = \frac{1}{2\varepsilon_1} U^*(t) + U^*(t) + \frac{w_1}{2\varepsilon_1} U^*(t) + \frac{w_2^* U_1}{2\varepsilon_1}$$

В стадии разгрузки (участок 2—2) для прямой задачи дифференпнальное уравнение движения имеет вид [2];

$$U(t) + 2\varepsilon_0 U(t) + \omega_0^2 U(t) = -U(t) + \omega_0^2 \lambda (U_{\text{max}} - U_{\tau}). \tag{1.6}$$

Используя тот же прием подстановки, получим:

$$\dot{U}_0(t) + \frac{\omega_0^2}{2\pi a} U_0(t) = f_2^*(t), \tag{1.7}$$

где

$$f_{z}^{\bullet}(t) = \frac{1}{2} \dot{U}^{\bullet}(t) + \dot{U}^{*}(t) + \frac{\omega_{z}^{\bullet}}{2} U^{\bullet}(t) - \frac{\omega_{z}^{\bullet}}{2} \lambda \left(U_{\text{max}} - U_{z}\right).$$

После того, как происходит полная разгрузка, т. е. движение дойдет до точки 2 днаграммы (рис. 2), можно ее принимать за новое начало отсчета движения с соответствующими начальными условиями я составить аналогичные пифференциальные уравнения для следующих стадий движения (участки 2—3; 3—4; 4—4 и т. д.).

Таким образом, поставленная задача сводится к интегрированию линейных дифференциальных уравнений первого порядка типа (1.3). (1.5) и (1.7) с соответствующими начальными условиями сопряжения на границах отдельных участков диаграммы (точки 1, 2, 2, 3, 4, 4 и г. д.).

2. На упругом участке днаграммы 0—1 (рис. 2) при нулевом начальном условии движения, г. с. при U_a (0) = 0, решение (1.3) согласно [1, 3] имеет вид:

$$U_0(t) = \int \exp \left[-\frac{\omega_0^2}{2s_0} (t-z) \right] f_0^*(z) dz.$$
 (2.1)

Время $t_1 = t_2$, при котором движение доходит до точки 1 (рис. 2), определяем из (1.2) с учетом (2.1) при $U(t_1) = U_1$:

$$U_z - U^*(t_\tau) + \int_0^t \exp\left[-\frac{\omega_z^2}{2t_0}(t-\tau)\right] f_0^*(t) dt = 0.$$

При переходе за предел упругости колебательное движение системы описывается дифференциальным уравнением (1.5), решение которого с учетом сопряжения на границе участков 0 -1 и 1-2, т. е. ври условии $U_0(\mathbf{t}_1) = U_{0t}$, имеет вид:

$$U_0(t) = \int_{t_t} \exp\left[-\frac{\omega_1^2}{2\varepsilon_1}(t-\tau)\right] f_1^*(\tau) d\tau + U_{ij} \exp\left[-\frac{\tau}{2\varepsilon_1}(t-t_t)\right]. (2.2)$$

Время I_{tt} при котором имеет место максимальное смещение, определяем из (1.2), имея ввиду, что в этот момент скорость движения равняется пулю — $\hat{U}(t_2)=0$:

$$U^{*}(t_{2}) - f_{1}(t_{2}) + \frac{\omega_{1}^{2}}{2\omega_{1}} \int_{t_{T}}^{t_{2}} \exp\left[-\frac{\omega_{1}^{2}}{2\omega_{1}}(t_{2} - \tau)\right] f_{1}^{*}(\tau) d\tau + \frac{\omega_{1}^{2}}{2\omega_{1}} U_{0\tau} \exp\left[-\frac{\omega_{1}^{2}}{2\omega_{1}}(t_{2} - t_{\tau})\right] = 0.$$
 (2.3)

Определив значение t_4 из (2.3) и подставляя в (2.2) и (1.2), волучим относительное смещение массы m в момент времени t_4

$$U(t_{2}) = U_{\text{max}} = U^{*}(t_{2}) - \int_{t_{\tau}}^{t_{1}} \exp\left[-\frac{\omega_{1}^{2}}{2\varepsilon_{1}}(t_{2} - \tau)\right] f_{1}^{*}(\tau) d\tau - U_{0\tau} \exp\left[-\frac{\omega_{1}^{2}}{2\varepsilon_{1}}(t_{2} - t_{\tau})\right]. \tag{2.4}$$

В зоне разгрузки (участок 2-2) дифференциальное уравнение имеет вид (1.7), решение которого при условни сопряжения на границе участков 1-2 и 2-2, г. е. $U_{\rm 0}(t_{\rm 2})=U_{\rm 02}$, дает:

$$U_{c}(t) = \int \exp \left[-\frac{1}{2s_{0}}(t-t) \right] f_{2}'(t) dt + U_{c2} \exp \left[-\frac{1}{2s_{0}}(t-t_{2}) \right]. \quad (2.5)$$

На основании (1.2) и (2.5) для относительного смещения массы m получии:

$$U(t) = U^{*}(t) - \int \exp\left[-\frac{\omega_{\phi}^{2}}{2\varepsilon_{0}}(t-\tau)\right] f_{\pi}^{*}(\tau) d\tau - U_{02} \exp\left[-\frac{\omega_{0}^{2}}{2\varepsilon_{0}}(t-t_{0})\right]. \tag{2.6}$$

Момент конца полной разгрузки и находим из (2.6) при условии, что относительное смещение равияется максимальному пластическому смещению $U(t_p) = U_{n,t} = \lambda (U_{max} - U_{\tau})$:

$$U^{*}(t_{p}) = i \left(U_{\text{max}} - U_{r} \right) - \int_{1}^{t_{p}} \exp \left[-\frac{\omega_{r}^{2}}{2\varepsilon_{0}} (t_{p} - t_{2}) \right] f_{2}^{*}(\tau) d\tau - U_{02} \exp \left[-\frac{\omega_{0}^{2}}{2\varepsilon_{0}} (t_{p} - t_{2}) \right]$$
(2.7)

Найдя отсюда три подставляя в (2.5), получим величниу сейсмического смещения, отвечающую этому моменту.

По этому же принципу можно продолжать решение обратной задачи для второго полуцикла днаграммы (рис. 2) и дальше.

Из всего вышенэложенного нетрудно заметить, что полученные решения дифференциальных уравнений по разным участкам можно представить в единообразной форме для всех зон нагружения и разгрузки. Общее дифференциальное уравнение для прямой задачи теории сейсмостойкости сформулируется следующим образом [2]:

$$\overline{U}(t) + 2\epsilon_0 (1 - \beta_1 \lambda)^{\frac{1}{2}} U(t) + \omega^2 [(1 - \beta_j \lambda) U(t) + \beta_1 \lambda U_j - (1 - \beta_1) \overline{U}_j - \beta_1 U_{j-1}] = -U(t),$$
(2.8)

где U_j — значение смещения сосредоточенной мяссы соответствующей точке i диаграммы (рис. 2), которое определяется формулой:

$$U_j = U_{j-1} + (-1)^{\frac{j-1}{2}} U_1$$
 $(j = 1, 3, 5, ...);$

 \overline{U}_i — значение смещения в точке полной разгрузки \overline{J} :

$$\overline{U}_{j} = \lambda \sum_{i=1}^{n} (U_{n} - U_{2i-1}) \qquad (j = 2, 4, 6, \dots);$$

William .

17

3_j постоянный коэффициент, который принимает различные значения для разных участков диаграммы:

$$\beta_i = \{0, \text{ при } j = 0, 2, 4, \dots, 11, \text{ при } j = 1, 3, 5, \dots \}$$

Поступая аналогично, т. е. подставляя значения (1.2) в дифференинальное уравнение (2.8), получим:

$$U_{0}(t) + \frac{\omega_{0}^{2}}{2\varepsilon_{0}} (1 - \beta_{j} \lambda)^{\frac{1}{2}} U_{0}(t) = f_{*}^{*}(t), \qquad (2.9)$$

где

$$f_{j}^{*}(t) = \frac{1}{2\epsilon_{0}(1 - \beta_{j}t)^{1/2}} U^{*}(t) + U^{*}(t) + \frac{\omega_{0}^{2}}{2\epsilon_{0}(1 - \epsilon_{j}t)^{1/2}} \times \\ \times [(1 - \beta_{j}t) U^{*}(t) + 3 U_{j} - (1 - \beta_{j}) \overline{U}_{j} - 3 \overline{U}_{j}]$$

Решение уравнения (2.9) в общем виле с учетом сопряжения на границах соответствующих участков j-j+1, т. е. при условии $U_0(t_1)=U_{0j}$, можно представить в таком виде:

$$U_0(t) = \int_{t_j}^{t} \exp\left[-\frac{\omega_0^2}{2\varepsilon_0} (1 - \theta_j \lambda)^{\frac{1}{2}} (t - \tau)\right] f_j(t) d\tau + U_{0j} \exp\left[-\frac{\omega_0}{2\varepsilon_0} (1 - \beta_j \lambda)^{\frac{1}{2}} (t - t_j)\right]$$
(2.10)

Подставляя соответствующие значения / в (2.10), получим уравнения (2.1), (2.2) и (2.5) для отдельных зон упруго-пластического нагружения и разгрузки.

Приведенная методика решения реализована для гармонического возденствия, т. е. $U^*(t) = U \sin \rho t$. Тогда для каждой зоны соответственно получим:

участок 0-1--

$$U_{0}(t) = U\left\{A\sin pt + B\cos pt - B\exp\left[-\frac{m}{2}t\right]\right\},\,$$

где

$$A = \frac{\omega_0^4 - \omega_0^2 p^2 + 4s_0^2 p^2}{\omega_0^4 + 4s_0^2} : B = \frac{2s_0 p^3}{\omega_0^4 + 4s_0^2} :$$

участок 1 2 -

$$\begin{split} U_{0}(t) &= U \left[A_{1} \sin \rho t + B_{1} \cos \rho t - (A_{1} \sin \rho t_{x} + B_{1} \cos \rho t_{z}) \exp \left[\left[-\frac{\omega_{1}^{2}}{2\varepsilon_{1}} (t - t_{x}) \right] \right] + \frac{\lambda U_{x}}{1 - \lambda} \left\{ 1 - \exp \left[-\frac{\omega_{1}^{2}}{2\varepsilon_{1}} (t - t_{z}) \right] \right\} + \\ &+ U_{01} \exp \left[-\frac{\omega_{1}^{2}}{2\varepsilon_{1}} (t - t_{y}) \right], \end{split}$$

$$B_1 = \frac{\omega_1^4 - \omega_1^2 p^2 - 4\varepsilon^2 p^2}{+ 4\varepsilon_1^2 p^2} \qquad B_1 = \frac{\omega_1^4 + 4\varepsilon_1^2 p^2}{\omega_1^4 + 4\varepsilon_1^2 p^2};$$

участок 2-2

$$\begin{aligned} U_0(t) &= U \left[A \sin pt + B \cos pt - (A \sin pt_2 - B \cos pt_2) \exp \right. \\ &\times \left[-\frac{\omega_0^2}{2\varepsilon_0} (t - t_2) \right] \right] - \lambda \left(U_{\max} - U_t \right) \left[1 - \exp \left[-\frac{\omega_0^2}{2\varepsilon_0} (t - t_2) \right] \right] + \\ &+ \left. U_{\text{tr}} \exp \left[-\frac{\omega_0^2}{2\varepsilon_0} (t - t_2) \right] \right]. \end{aligned}$$

где А и В имсют прежние значения.

Полученные результаты при $T_0=2\pi/\omega_0=0.25~c$, $T=2\pi/p=0.15~c$, $\delta=0.5$, $\delta=0.5$, приведены на рис. 3.

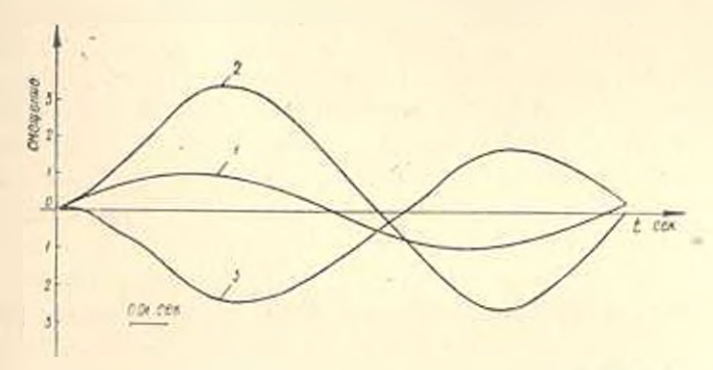


Рис. 3. Изменение смещений во времени: $I = U^*$ (г) U_1 : 2 - U(t)/U: $3 - U_0(t)/U$.

Приведенная и статье методика решения обратной задачи теории сейсмостойкости позволяет оценить характер и интенсивность сейсми ческих колебаний на уровне фундамента, при наличии инструментальных записей колебаний на уровие сосредоточенной массы.

ИГИС АН Арм, ССР

Поступпло 25. VIII 1981

Ս. Ս. ԳԱՐԲԻՆՅԱՆ, Ա. Ա. ՀՈՎՈՒՓՅԱՆ

ՍԵՅՍՄԱԿԱՅՈՒՆՈՒԹՅԱՆ ՏԵՍՈՒԹՅԱՆ ՀԱԿԱԴԱՐՁ ԽՆԿՐԻ ԼՈՒԾՄԱՆ ՀԱՐՑԻ ՄԱՍԻՆ՝ ԱՌԱՉԳԱ-ՊԼԱՍՏԻԿ ՀԱԾԱԿԱՐԳԵՐԻ ՀԱՄԱՐ

Ամփոփում

Հոդվածում արվում է սնյսմակայունության տեսության Տակադարձ խնդրի լուծման մեթոդը մեկ աղատության աստիճան ունեցող առաձգապլաստիկ համակարգերի համար։ Ծնիադրվում է, որ դիտարկվող Տամակարգը կատարում է միայն սանջի տատանումներ և վերականդնող ուժի ու տեղափոխության միջև հղ<mark>ած կ</mark>ապը ընութադրվում է դեֆորմացման երկղծային դիագրամով։

Կազմված են շարժման դիֆերենցիալ համասարումները, որոնց լուծումները համապատասխան սկզբնական պայմաններով հասցված են մինչև վերջ վերլուծական եղանակով։ Սելոմակայունության տեսության հակադարձ խնդիրն ընդհանուր աեսջով լուծելու համար ստացված հավասարումները բեռնավորման և բեռնաթափման բոլոր տեղամասերի համար ներկայացված են միօրինակ տեսջով։

Բերված մեթեղով խնդրի լուծումը իրականացված է թվապես՝ Հարմոնիկ աղդեցության Համար։

JIHTEPATYPA

- Векуа Т. П. Численное решение образной задачи теории сейсмостойкости для упругой системы с двумя степенями свободы. Сб «Сейсмостойкость сооружений», имп. 3, Тбилиси, «Мецинереба», 1974.
- Дарбинян С. С. О поведении сооружений под сейсмическими воздействиями за пределом упругости. «Бюллетень по инженерной сейсмолитии», № 8. Ереван, изд. АН Арм. ССР, 1973
- Напетваридзе Ш Г Некоторые задачи инженерной сейсмологии Тбилиси, «Менинереба», 1973.

Ֆիրնիկական դիտութ, սևշիա

XXXV, № 2, 1982

Серия в жинческих плу-

ЭНЕРГЕТИКА

Р. А. АМИРИКЯН, И И ШАРАБХАНЯН

КОРРЕКЦИЯ УСТАНОВИВШЕГОСЯ РЕЖИМА ЭЛЕКТРОЭНЕРГЕТИЧЕСКОЙ СИСТЕМЫ С УПРАВЛЯЕМЫМИ ЭЛЕМЕНТАМИ

В сложных электроэнергетических системах (ЭЭС) возникает за дача управления режимами отдельных элементов и оперативного расчета установившегося режима (УР) при соответствующем управляюшем воздействии.

Известны два метода определения VP ЭЭС — решением уравнений узловых напряжений в прямой форме, с непосредственным использованием матрицы узловых проводимостей Y, и в обращенной форме, с иснользованием матрицы узловых сопротивлений Z, полученной обращением Y. О преимуществах первого метода широко известно. Применение второго метода ограничивается необходимостью обращения матрии высокого порядка при определении УР сложных систем. Однако, в последнее время разработаны ряд алгоритмов, основанных на деления системы на подсистемы, позволяющие значительно сократить время, необходимое для получения Z.

Постановка задачи. Заланы управляемые ветви XB, активные и реактивные сопротивления ветвей R и X (без приведения к одной ступени напряжения) схемы замещения сети, коэффициенты грансформации трансформаторов K, активные и реактивные узловые мощности P и Q, базисный узел с напряжением U_{Φ} . Требуется определить УР ЭЭС решением уравнений узловых напряжений в обращенной форме.

Составляются уравнения, выражающие связь между узловыми параметрами для ехемы замещения ЭЭС с отключенными УВ. Дополнительно составляется система уравнений, где переменными являются то ки УВ I_y [1]. По одному из известных методов [2] определяется УР для ЭЭС с отключенными УВ. По его результатам определяются токи I_y , воздействием которых на ЭЭС в узлах связей УВ определяются дополнительные составляющие вычисляемых параметров.

Лагоритм расчета 1. Рассекаются УВ по их узлам связей и удаляются.

2. Составляется матрица узловых проводимостей Y и определяется матрица узловых сопротивлений $Z_{\rm num}$ [3, 4] системы без УВ. При на-

личин в системе VB, удалением которых система делится на изолированные части, можно пользоваться алгоритмами, описанными в [1, 4]. Исли в ЭЭС имеются элементы трансформации с комплексными коэффициентами, то матрица узловых проводимостей определяется следующим образом (рис. 1):

$$\sum_{p} \hat{I}_{lp} + (\hat{U}_{l} - \hat{U}_{l}) Y_{\tau} = \hat{J}_{l}; \qquad \left(\dot{U}_{l} - \frac{\hat{U}_{j}}{\hat{K}_{jl}} \right) Y_{\tau} = \hat{I}_{l};$$

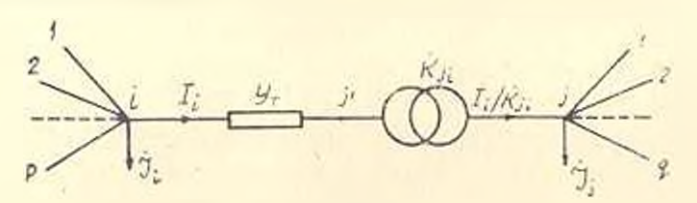
$$\hat{I}_{l} = -\hat{K}_{jl} \hat{I}_{j}; \qquad \sum_{q} \hat{I}_{jq} - \frac{1}{\hat{K}_{jl}} \left(\dot{U}_{l} - \frac{\hat{U}_{j}}{\hat{K}_{lj}} \right) Y_{\tau} = \hat{J}_{j};$$

$$\begin{bmatrix} Y_{\tau} & -\frac{Y_{\tau}}{\hat{K}_{jl}} \\ -\frac{Y_{\tau}}{\hat{K}_{jl}} & \frac{Y_{\tau}}{|\hat{K}_{jl}|^{2}} \end{bmatrix} \begin{bmatrix} \dot{U}_{l} \\ \dot{U}_{j} \end{bmatrix} = \begin{bmatrix} \hat{I}_{l} \\ \hat{I}_{j} \end{bmatrix};$$

$$Y_{ll} = \sum_{q} Y_{lp} + Y_{\tau}; \qquad Y_{lj} = -\frac{Y_{\tau}}{\hat{K}_{lj}};$$

$$Y_{jj} = \sum_{q} Y_{jq} + \frac{Y_{\tau}}{|\hat{K}_{jl}|^{2}}; \qquad Y_{jl} = -\frac{Y_{\tau}}{\hat{K}_{jl}},$$

где Y_{ii} , Y_{jj} — собственная проводимость, соответственно, узлов i и j; Y_{ii} — взаимная проводимость узлов i и j, j и i; Y_{τ} — проводимость трансформатора.



PHC. 1.

Сопротивление (проводимость) трансформатора приводится и ступени высокого напряжения, а коэффициент трансформации трансформатора определяется как отношение напряжения инзкои ступски к на-

- пряжению высокой ступени $\left(K_{\mu} = \frac{U_{\mu}}{U_{\mu}}\right)$

3. Задавшись приближенными значениями напряжений в узлах U_m , решаются уравнения

$$\dot{U}_m = Z_{mm} \left(\frac{S_m}{U_m} + Y_{m6} \dot{U}_6 \right) \tag{1}$$

и определяются узловые напряжения от узловых токов для системы без УВ. Здесь S_m . U_m — комплексно-сопряженная узловая мощность

и напряжение: У проводимость ветви, соединяющей узел системы т с базисным б, с учетом коэффициента трансформации трансформатора ветви тб.

4. Определяются падения напряжений в УВ, соответствующих напряжениям, вычисленных в п. 3:

$$\Delta \dot{U}_{y} = -\dot{U}_{yc} \dot{U}_{c(n)}, \qquad (2)$$

где C_{yc} — матрица соединений напряжений в узлах VB. Строки у соответствуют VB, столбцы c— номерам их узлов связей. Для VB без элемента трансформации на пересечении соответствующих строки и столбна ставится 1, если ток задается входящим в узел связи, и — 1, еслиныходящим. Для VB с элементом трансформации (рис. 1) на пересечении строки и столбна, соответствующего номеру узла типа i, ставится ± 1 и $\pm \frac{1}{M_{ij}}$ на пересечении строки и столбна, соответствующего номеру узла типа i; $U_{c(n)}$ — напряжения в узлах связей VB, вычисленных по (1); K_{ij} — комплексный коэффициент трансформации трансформатора VB.

- 5. Токи I_y определяются решением уравнений, описывающих УВ (структура и решение этих уравнений дается ниже).
- 6. Дополнительные токи и узлах связей $I_{\rm c}$ УВ, вызванных токами $I_{\rm y}$, равны:

$$\dot{I}_c = C_{co} I_{co} \tag{3}$$

где $C_{\rm cy}$ — матрица соединений токов УВ в узлах их связей, которая составляется по тому же принципу и имеет аналогичную структуру в транспортированном виде, что и $C_{\rm yr}$, голько вместо элементов $\frac{1}{K_{\rm H}}$ записываются соответствующие $\frac{1}{K_{\rm H}}$: $K_{\rm H}$ — комплексно-сопряженныя

Ку коэффициент трансформации трансформатора УВ.

7. Донолнительные узловые напряжения от гоков $I_{\rm c}$:

$$\dot{U}_{m(y)} = Z_{mc} I_{c}, \tag{1}$$

 Z_{mc} получается из Z_{mm} , если оставить в ней столбцы, относящиеся к узлам связей УВ.

8. Результирующие узловые напряжения ЭЭС:

$$\dot{U}_m = \dot{U}_{m(s)} + \dot{U}_{m(y)}. \tag{5}$$

Так как расчет носит итерационный характер, то описанный цикл расчета (п. п. $3\div 8$) повторяется до достижения желаемой точности.

Уривнения УВ. Пусть через УВ ij (рис. 1) в общем случае с элементом трансформации K_H проходит ток I_D . Тогда уравнение ветви ij согласно изложенному алгоритму будет:

$$U_{i(y)} + \dot{U}_{i(y)} - \frac{1}{\kappa_{ij}} \left(U_{i(y)} + \dot{U}_{j(y)} \right) = Z_{ij} \dot{I}_{ji} \,, \tag{6}$$

где Z_H — сопротивление ветви ij.

Уравнения УВ в обобщенном виде, согласно изложенному алгоритму можно записать:

$$-C_{yz}(U_{c(n)} + U_{c(y)}) = Z_{min}I_{y}, \qquad (7)$$

где Z_{им} — диагональная матрица сопротивлений УВ.

В (6) напряження в узлах связей (c) $U_{e(n)}$ определяются по (1). Папряження от токов I_e :

$$U_{\epsilon(y)} = Z_{\epsilon} I_{\epsilon} = Z_{\epsilon} C_{\epsilon y} I_{y}. \tag{8}$$

где Z_{ce} подматрина узловых сопротивлений относительно узлов саязей УВ, которая получается из Z_{ne} , восле удаления из нее строк и столбцов, соответствующих номерам узлов, не являющихся узлами связей УВ Подставив (8) в (7) с учетом (2), получим систему уравнений, где переменными являются I_{v} :

$$\dot{I}_{y} = Y_{yy} \Delta \dot{U}_{y} ; \qquad (9)$$

$$T_{yy} = Z_{yy} = (C_{yx}Z_{xx}C_{xy} + Z_{y(y)})^{-1}$$
 (!0)

Если Z_{yy} симметричная, что бывает при учете коэффициентов трансформаций, по ее целесообразно обращать с учетом симметричности.

Заметим, что Z_{yy} остается неизменной за весь итеративный расчет для данного изменения, а $Z_{xx} = \bar{C}_{yx}Z_{x}$, $C_{xy} = \bar{C}_{yx}X_{yy}$, изменений УВ в системе.

Произлюстрируем описанный алгоритм на схеме сети (рис. 2), сопротивления всех вствей которой равны 1 Ом Величины токов 1 указаны на рис. 2, напряжение базисного узла $U_0 = 0$. Управляемыми янляются встви 1-2 и 1-4.

- 1. Рассекаются и удаляются ветви 1-2 и 1-4.
- 2. Для схемы, полученной после процедуры пункта 1, составляется матрица узловых проводимостей, обращая которую, получаем матрицу узловых сопротивлений.

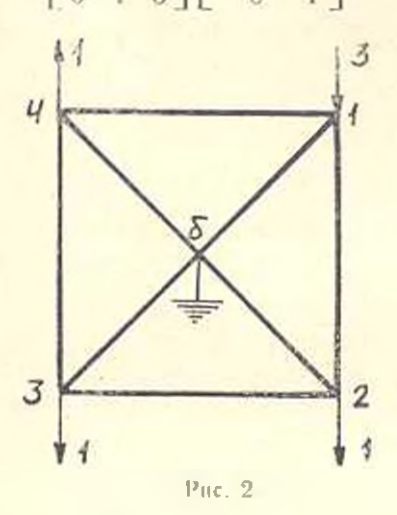
3. Узловые напряжения от узловых токов;

$$U_{m(n)} = \frac{1}{8} \begin{bmatrix} 8 & 0 & 0 & 0 \\ 0 & 5 & 2 & 1 \\ 0 & 2 & 4 & 2 \\ 0 & 1 & 2 & 5 \end{bmatrix} \begin{bmatrix} 3 \\ -1 \\ -1 \\ -1 \end{bmatrix} = \begin{bmatrix} 3 \\ -1 \\ -1 \\ -1 \end{bmatrix}.$$

4. Падения напряжения в ветвях 1—2 и 1—4, соответствующих напряжениям п. 3:

$$\Delta U_{y} = -\begin{vmatrix} -1 & 1 & 0 \\ -1 & 0 & 1 \end{vmatrix} \begin{bmatrix} 3 \\ -1 \\ -1 \end{bmatrix} = \begin{vmatrix} 4 \\ 4 \end{vmatrix};$$

$$Z_{yy} = \begin{bmatrix} -1 & 1 & 0 \\ -1 & 0 & 1 \end{bmatrix} \begin{bmatrix} 8 & 0 & 0 \\ 0 & 5 & 1 \\ 0 & 1 & 5 \end{bmatrix} \begin{bmatrix} -1 & -1 \\ 1 & 0 \\ 0 & 1 \end{bmatrix} + \begin{bmatrix} 1 & 0 \\ 0 & 1 \end{bmatrix} = \frac{1}{8} \begin{bmatrix} 21 & 9 \\ 9 & 21 \end{bmatrix}.$$



5. Токи в ветвях 1—2 и 1—4:

$$I_{v} = \frac{1}{8} \begin{bmatrix} 21 & 9 \\ 9 & 21 \end{bmatrix}^{-1} \begin{bmatrix} 4 \\ 4 \end{bmatrix} = \frac{1}{15} \begin{bmatrix} 16 \\ 16 \end{bmatrix}.$$

6. Дополнительные токи в узлах 1, 2 и 4 от токов I_{Y} :

$$I_{1} = \begin{bmatrix} -1 & -1 \\ 1 & 0 \\ 0 & 1 \end{bmatrix} \frac{1}{15} \begin{vmatrix} 16 \\ 16 \end{vmatrix} = \frac{1}{15} \begin{bmatrix} -32 \\ 16 \\ 16 \end{bmatrix}$$

7. Дополнительные узловые напряжения от токов Іс:

$$U_{-13} = \frac{1}{6} \begin{bmatrix} 8 & 0 & 0 \\ 0 & 5 & 1 \\ 0 & 2 & 2 \\ 0 & 1 & 5 \end{bmatrix} \frac{1}{15} \begin{bmatrix} -32 \\ 16 \\ 16 \end{bmatrix} = \frac{1}{15} \begin{bmatrix} -32 \\ 12 \\ 8 \\ 12 \end{bmatrix}.$$

8. Результирующие узловые напряжения:

$$U_{m} = \begin{bmatrix} 3 \\ -1 \\ -1 \\ -1 \end{bmatrix} + \frac{1}{15} \begin{bmatrix} -32 \\ 12 \\ 8 \\ 12 \end{bmatrix} = \frac{1}{15} \begin{bmatrix} 13 \\ -3 \\ -7 \\ -3 \end{bmatrix}.$$

Выводы

Для определения установившегося режима системы с УВ решением уравнений узловых напряжений в обращенной форме существующими методами необходимо для каждого наменения нассивных нараметров УВ определить матрину узловых сопротивлений системы Z обращением изменениой матрины узловых проводимостей, либо скорректировать Z [5], что для сложных систем при частых изменениях пассивных нараметров УВ снязано с большими затратами машинного времени. По предлагаемому методу Z для схемы сети после удаления УВ определяется один раз. Дополнительные вычисления связаны определением

АриНИНЭ

Поступило 24. П. 1980

n. Հ. ԱՄԵՐԻԿՅԱՆ, Ե. Ի. ՇԱՐԱՔԽԱՆՅԱՆ

ԿԱՌԱՎԱՐՎՈՂ ԷԼԵՄԵՆՏՆԵՐՈՎ ԷԼԵԿՏՐԱԷՆԵՐԳԵՏԻԿԱԿԱՆ ՀԱՄԱԿԱՐԳԵՐԻ ՀԱՍՏԱՏՎԱԾ ՌԵԺԻՄԻ ՈՒՂՂՈՒՄԸ

11. մ փոփում

Հաշվարկային օպերացիաների քանակը կրճատելու նպատակով առաջարկվում է ղեկավարվող Լյեմետներով (Ղէ) էլեկտրաէներգետիկական համակարդի (ԷԷՀ) հաստատված ռնժիմի հաշվարկը կատարել երկու փուլով։ Սկզրում որոշվում է համակարգի ռեժիմը, առանց հաշվի առնելու հոսրերը Ղէ-ով, այնուհետև դրա արդյունքներով արոշվում են հոսքերը Ղէ-ներում, որոնց ազդեցությամբ ԷԷՀ-ի վրա Ղէ-ի կապերի հանղույցներում որոշվում են համակարդի ռեժիմային պարամետրների լրացուցիչ բաղաղրիչները։

ЛИГЕРАТУРА

- Алирикан Р. А., Шарабханян И. И. Об одном алгоритме установившегося режима эперсосистем, вхадящих в эпергообъединение. «Известия АН АрмССР (серия Т. Н.)», г. XXXII, № 1, 1979.
- Идельник В. И. Расчеты установаннихся режимов электрических систем. М.: «Энергия», 1977.
- Гурский С. К. Алгоритмизация задач управления режимами сложных систем в электроэнергетике. Минск, «Наука и техника», 1977.
- Шарабханян И. И., Бабаян А. Н. К вопросу определения матрицы узловых сопротивлений сложных электроэнергетических систем. «Докл. XX юб. изуч-техн. конф. молод. уч. и спец. ЭНИН им. Г. М. Крижижановского, посвящ. 110 и гол. со дия рожд. В. И. Лецица». Деп. и ЭНИН, № Д/647
- Гурский С. К., Новицкий Б. Б., Улассвия А. Ф. Формирование обобщенных нараметров и уравнений режимя электроэнергетических систем с учетом комплексных коэффициентов грансформации. «Известия вузов. Энергетика», 1979, № 2.

Серия технический пач

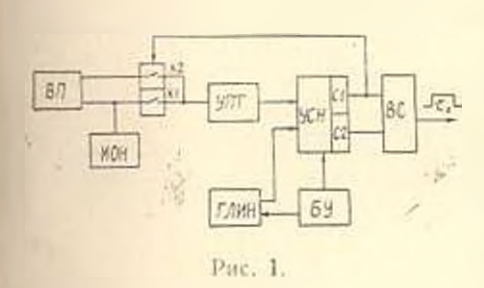
ИЗМЕРИТЕЛЬНАЯ ТЕХНИКА

С. С. ШАХКАМЯН

ВОПРОСЫ СТРУКТУРНОГО ПОСТРОЕННЯ ЦИФРОВЫХ ИЗМЕРИТЕЛЕЙ ТЕМПЕРАТУРЫ

Цифровые приборы для измерения температуры в настоящее премя находят инрокое применение в различных отраслях народного хозяйства.

Улучшение технических характеристих и расширение функциональных возможностей изделий микроэлектроники позволяет повысить эффективность сравнительно простых методов аналого-дифрового преобразования, что раньше было связано со значительными трудностями. Применение метода двухтактного время импульсного преобразования [1, 2] наряду со схемной простотой обеспечивает и требуемые при тех-



инческих измерениях метрологические характеристики, как при работе с термопреобразователями сопротивления (ТС), так и с термоэлектрическими преобразователями (ТП).

Основния функциональная схема преобразователя сигнала термодатчика в интернал времени принедена на рис. 1. Схема состоит из

входного преобразователя (ВП) сигнала термодатчика и постоянное напряжение, источника опорного напряжения (ПОП), аналоговых ключен К1, К2, усилителя постоянного тока прямого усиления (МПТ), устройства сравнения напряжений (УСП), генератора линейно-изменяющего напряжения (ГЛПП), блока управления (БУ) и временного селектора (ВС). Преобразование происходит в два такта — в первом такте по сигналу БУ запускается ГЛПП и открывается ключ К1. Черенекоторое время в момент пременит, выходиме напряжения УПТ и ГЛИП становятся равными и происходит первое срабатывание МСП, выходной сигнал С1 которого открывает ключ К2 (закрывая К1) и ВС, на выходе которого формируется передний фронт импульсного сигнала интервала времени т_ж. При этом входное напряжение УПТ скачком увеличивается на неличину, равную ныходному напряжению ВП.

В момент времени т происходит второе срабатывание УСН, выходной сигнал С2 которого закрывает ВС и на его выходе формируется залинй фронт сигнала интервала времени т_s.

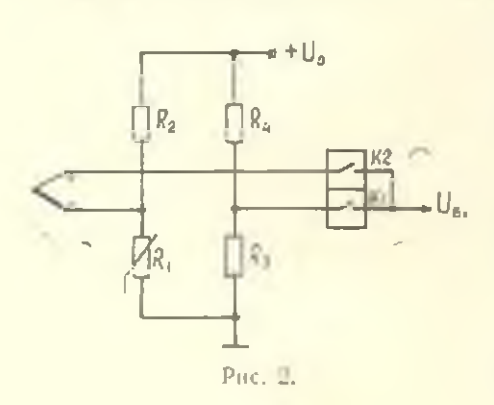
Длительность интервала времени равна:

$$\tau_x = K_{\rm H} \left(U_{\rm BX} + \Delta U_{\rm BX} + \frac{1}{K_{\rm Y}} \Delta U_{\rm c} \right),$$
 (1)

где $K_n = K_y/K_t$ — коэффициент преобразования; K_y — коэффициент усиления VIIT; K_r — крутизна выходного напряжения ГЛИН; — ныходное напряжение ВП; ΔU_{1x} , ΔU_{-1} — изменения изпряжения смещения УПТ и погрешности сравнения УСН за интервал времени 1,

Для уменьшения составляющей погрешности ΔU_c в УСН применяется один компаратор для обоих тактов преобразования, предложенный в [2].

В преобразователях, работающих с ТП, нелесообразно предусмотреть узел автокомпенсации термо-э.д.с. свободных концов ТП. Тогда в качестве ВП пелесообразно применить схему рис. 2, состоящую из



двух делителей напряжения. Эквиналентное значение входного напряжения, преобразуемое в интернал времени, равно

$$U_{\rm mx,\; 9K0}={
m E}_{\rm m}+U_1-U_1, \eqno(2)$$
 где ${
m E}_{\rm m}$ — термо-э. д. с. ${
m TH}$: U_1 , U_3 — надения напряжения на резисторах $R1$ и $R3$.

Резистор R1 — медный и устанавливается вблизи свободных концов ТП, поэтому имеем:

$$R_1 = R_0 (1 + a T_0),$$
 (3)

где $R_{\rm o}$ — сопротняление при $T_{\rm o}=0\,^{\circ}{\rm C}$: $\alpha=4.28\cdot 10^{-4}$ I/°C m. к. с. медного резистора.

При выборе параметров схемы из условия равенства падений напряжений на резисторах R1 и R3 при $T_0=0$ С и удовлетворения условия $U_1-U_3=R_{0+1}T_0=K_{10}T_0$ ($K_{10}-K_{10}$) к процессе измерения осуществится также и автокомпенсация термо-э.д.с. свободных концов ТП. Погрешность измерения температуры с ТП составляет несколько градусов Цельсия и в значительной степени зависит ог режима работы ТП [3]. Поэтому основная погрешность ЦТ при работе с ТП на неблагородных металлов (ТХА, ТХК) целесообразно брать не более \pm 2°C и разработать ЦТ с диавазоном измерений 0—600°C для ТХК и 0—900°C для ТХА, с ценой единицы младшего разряда, равной 1°C. Известно, что ТП имеют нелинейную статическую характеристику, поэтому длительность интервала времени τ_{τ} также нерактеристику, поэтому длительность интервала времени τ_{τ} также не

линейно зависит от измеряемой температуры. На современиюм этапа развития микроэлектроники наиболее целесообразно применять инфровую линеаризацию, метол расчета схемы которой приведен в [4]. Схема блока преобразования интервала времени в цифровой кол в одновременной линеаризацией статической характеристики термодатика приведена на рис. 3.

При этом частота квантующих импульсов на каждом участке кусочно-пинейной аппроксимации статической характеристики термодатчика будет определяться вы-

мэннэжва

$$f_i = a_i f_0, \tag{1}$$

где α_j — коэффициент линеаризации (см. табл.); f_0 — опорная частота.

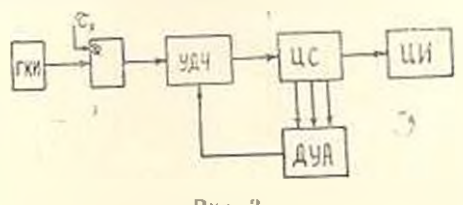


Рис. 3.

Параметры схемы пифровой липеаризации статических характеристик ТП приведены в табл., где ΔE_I , ΔT_I — погрешности кусочнолинейной аппроксимации статической характеристики датчика в узловых точках; $\Delta T_{I, \text{маке}}$ — максимальные значения погрешности внутри данного участка аппроксимации.

Тоблица

Пид ха- рактери- стики	Номер участка	Диапилон аппрок- скмации, °С			áE,.	۲٫, ۲۵	±1, ware
		пачало	копец	α,	лВ	*Ć	'C
ХК	1 2 3 4 5 6 7 8	30 100 200 250 300 400 500	50 100 200 250 300 400 500 600	8:7 15/14 1 9:10 11/12 9/10 6/7 7/8	-0.013 -0.003 -0.04 +0.068 0.038 -0.088 +0.019 -0.084	-0,22 -0,05 -0,8 -1 0,5 -1,4 +0,33 -1,4	0,55 0,1 2 0,24 0,71 0,65 0,6
ХЛ	1 2 3 4 5 6	0 300 500 600 800 900	300 500 600 800 900	19 20 19 20 19 20 19 18	0 -0.13 -0.06 +0.14 -0.056 -0.069	0 +3 -1,3 +3,1 -1,27 +1,57	-0.82 -0.8 -0.87 -1.8 -1.2 -0.43

При измерении температуры в комплекте с ТС информативный сигнал не равен нулю при измеряемой температуре Т=0°С и имеет одну полярность для отрицательных и положительных температур. Следовательно, в схеме ЦТ необходимо предусмотреть подавление начального сигнала ТС и возможность автоматического определения знака измеряемой температуры.

Для исключения влияния сопротивления соединительной линии на результат измерений необходимо применять четырехпроводную схему подключения ТС.

Медиме ТС Государственной системы промышленных приборов (ГСП) выпускаются по классам точности П, 111 с основной погрешно стью \pm 0.3°C и более. Следует отметить, что для ТСМ кл. П погрешность измерения температуры из-за разброса значений коэффициента ири $\Gamma = 200$ °C может составлять примерно \pm 0,5°C, а для ТСМ кл. 111 будет в два раза больше, поэтому внолне достаточно иметь погрещность дискретности 0,1°C.

Ногрешность ТС ливчительно увеличивается в зависимости от режима (температуры и длительности воздействия) работы, поэтому для технических измерений с медиыми ТС основную погрешность ЦТ целесообразно брать в пределах 0,2 ... 0,5°С. При этом целесообразно разработать 2 модификации ЦТ с дианазоном измерений от — 60 до 99,9°С и от — 180 до 180°С с ценой единицы млалиего разряда 0,1°С.

При измерении температуры с илатиновыми ТС в ЦТ необходимо предусмотреть устройство линеаризации статической характеристики ТС. При широком днапазоне измерений целесообразно использовать цифравую линеаризацию и инфровой блок ЦТ построить по схеме рис 3 Методика расчета и параметры схемы для днапазона измерений от — 200 до 650°C принедены в 141.

Для повышения точности измерений с ТС в широком диапазопе внешних влияющих неличии целесообразио применять метод образцовой меры. При этом процесс измерения состоит из двух циклов. В первом шикле измеряется сопротивление датчика, а во втором -- сопротивление образцового резистора. Функциональная схема такого ЦТ призелена на рис. 4. Питание ВП осуществляется от источника напряжения (ПП), который гальзанически развязан от остальных узлов ЦТ. В качестве ИОП используется падение напряжения на резисторе R2 и одном соединительном проводе. В качестве источника входного напряжения ГЛИП используется надение напряжения на резисторе R3. Такая слема ВП обеспечивает исключение влияния изменений напряжения ИИ и соединительной линии на результат измерений. Схема работает следующим образом. В первом цикле сигнал устройства управлеиня (УУ) замыкает ключ К1, дает разрешение на переключение ключей КЗ, К5, запускает ГЛИН, устанавливает УСН на начальное состояние, а РЦС — на режим работы «сложение».

Эквивалентное аходное напряжение УПТ и кругизна ГЛИИ равны

$$U_{\rm ex} = iR_{\rm TG}, \qquad K_{\rm r} = \frac{IR_{\rm s}}{\tau_{\rm s}}, \tag{5}$$

где I— измерительный гох датчика; $R_{\rm TG}$ — сопротивление ТС; $\tau_{\rm r}$ — постоянная времени интегрирующей цени ГЛИН.

Следовательно, в конце первого цикля на РЦС булет записано число

$$N_{\tau} = f_{K} \gamma_{K} = K_{00} R_{TC} = N_{0} + N_{T}$$
, (6)

где f_{κ} — частота квантующих импульсов; $K_{np} = f_{\kappa} \, \mathrm{K}_{\tau}$ — коэффициент преобразования сопротивления в число импульсов;

$$\tau_{\rm x} = K_{\rm y} \frac{R_{\rm re}}{R_{\rm x}} \tau_{\rm r} = K_{\rm x} R_{\rm re}$$
.

Во втором пикле сигнал УУ замыкает ключ К2 (размыкая К1), дает разрешение на переключение ключей К4 и К5, заново запускает ГЛИП

и устанавливает УСП на начальное состояние, а РЦС - на режим работы "вычитание". В конце второго никла на PЦС будет записано число

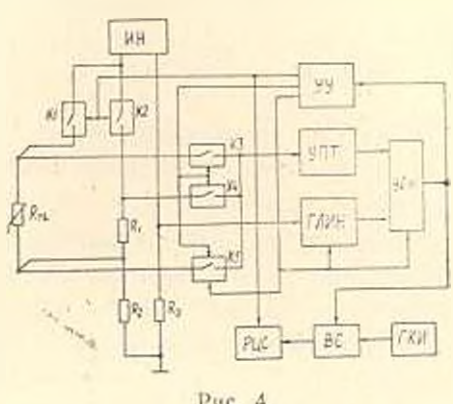
$$N_{\rm T} = N_{\rm X} - N_{\rm o}, \tag{7}$$

где $N_0 = K_{\rm вp} \cdot R_1$; R1 =сопротивление образцового резистора, рапное сопротивлению ТС при T = 0°C.

Для медного ТС получим:

$$N_{\rm T} = K_{\rm np} \cdot \alpha \cdot R_1 \cdot T = K_{\rm T} T_1 \quad (8)$$

 $K_T = K_{\rm up} \cdot {}_{2}R_{1} -$ коэффициент преобразования температуры.



Puc. 4.

При переходе РПС через нулевое состояние, которос имеет место при измерении отрицательных температур, необходимо РЦС автоматически переключить на режим работы «сложение». Следовательно. знак измеряемой температуры определится по состоянию РЦС в конце инкла измерения.

ГСКБ ПЭА

Поступило 15. Х. 1981

Ս. Ս. ՇԱՂԳԱՄՅԱՆ

ՋԵՐՄԱՍՏԻՃԱՆԻ ԹՎԱՅԻՆ ՉԱՓԻՉ ՍԱՐՔԵՐԻ ԿԱՌՈՒՑՎԱԾՔԱՅԻՆ **ԵՍԽԱԳԾՄԱՆ ՀԱՐՑԵՐԸ**

Ամփոփում

Տրված է ջերմաստիճանի թվային չափիչ սարըերի հիմնական ֆունկցիո-- աստ դերևան գրելուն այրելուն արև գրելուների և ձրելակուների առաբեր ստա տիկական ընութադրեր ունեցող ավիչների ձևա աշխատելու դեպթում, Տիմնավորված են իկային ջերմայափերում ավիչի ազդանշանը նվային կոդի ձևափոխելու մեքիոգները և սխեմայի հիմնական պարամետրերի որոշման համար րերված են Հայվարկային բանաձևեր։

ЛИГЕРАТУРА

- Гитис Э. И. Преобразователи информации для электронных цифровых вычислительных устройств. М., «Энергия», 1975
- 2. Шахкамян .1. С., Шахкамян С. С. Устройство сравнения напряжений. Авт. свид. Nº 627350, BH Nº 37, 1978.
- 3. ГОСТ 3044- 77. Преобразователи термоэлектрические, градупровочные табляцы.
- 4. Куликовский К. Л., Шохкамян А. С., Шохкамян С. С. Метод ресчета схемы инфровой лицеаризации функции преобразования намерительных устройств. «Прибиры и системы управления-, 1978, № 8.

ВЫЧИСЛИТЕЛЬНАЯ ТЕХНИКА

ю м гленарян в м. мовессян а л нерессян

К ВОПРОСУ ВЫБОРА ОПТИМАЛЬНОГО ЗНАЧЕНИЯ ПОРОГА В ЗАДАЧАХ КЛАССИФИКАЦИИ

В некоторых алторитмах классификации качество контролируется с номощью некоторого функционала [1—3] и иниется оптимальная классификация, которая бы из ксимизировала (или минимизировала) этот функционал При большом количестве классификируемых объектов число рассматриваемых вариантов разбиения на классы резко возрастяет, что прияодит к большим затратам времени на классификацию. Поэтому целесообразно уменьшить число рассматриваемых вориантов путем исключения и рассмотрения тех вариантов разбиения, которые заранее выглядят ненелесообразными. Для этого и некоторых алгоритмах классификации меры близости между объектами сравниваются с порогом значимости T. Если меру близости между парами объектов X_i и X_j ($i=1,N,\ j=1,\Lambda$) представить как элементы матрицы сизвей $A=(a_i)_{N-N}$, то после сравнения с порогом T из матрицы Λ формируется новая матрица $D=(d_{ij})_{N-N}$, состоящяя из нулей и единиц [4], где

$$d = \begin{bmatrix} 1, & \text{если } a_{ij} > T, \\ 0, & \text{если } 1 \le T. \end{bmatrix}$$
 (1)

Для классификации можно воспользоваться матрицей D. Благодаря тому, что часть элементов матрицы D равна нулю, число возможных вариантом разбиений существенно сокращается по сравнению с разбиением с использованием матрицы A.

Оченидно, что степень заполненности матрицы D зависит от значения порога значимости T. В случае, когда меры близости пормированы в интервале [0,1], при значении порога значимости T. О все объекты попарно считвются похожими, т. е. матрица состоит из одинх единии, и каждый объект может войти в любой класс. В случае, когда T. 1, все нелиогональные элементы матрицы D равны нулю и объекты попарно не похожи — каждый объект составляет самостоятельный класс. При промежуточных значениях $T \in [0,1]$ матрица D заполняется елиницами частично. Следовательно, при больших значениях T матрица D будет слабо заполненной, T. с. будут преобладать нуленые эле-

менты, что уменьшит число рассматриваемых вариантов и приведет к упрощению пронедуры классификации. При небольших значениях T и матрице D преобладают единицы и процедура классификации усложняется. Следует иметь в виду также, что при сравнении мер близости a_{ij} с порогом, τ , ϵ , ири аппроксимации матрицы A матрицей D теряется некоторая информация, содержащаяся в матрине A. При этом, чем ближе значение T к единице, тем ошибка аппроксимации будет больше.

Множество объектов и взаимосвязь между объектами можно представить в виде взвешенного графа G, вершинами которого являются объекты x_1,\dots,x_N , а весами ребер (x_i,x) , $(i=\overline{1,N};\ f=\overline{1,N})$ — элементы a_{ij} , $(i=\overline{1,N};\ f=\overline{1,N})$ матрицы A. После сравнения элементов матрицы A с порогом, она анироксимируется D, которая представляет собой матрицу инцидентности невзвешенного помеченного графа Γ . Если $d_{ij}=1$, то существует ребро между вершинами X_i и X_j , и если $d_{ij}=0$, то отсутствует ребро, соединяющее вершины X_i и X_i . Сравнение мер близости a_{ij} с порогом T фактически аппроксимирует взвешанный граф G невзвещанным, помеченным графом Γ .

Классификация на основе графа Γ (матрицы D) тем труднее, чем больше: а) количество вершии графа (количество объектов); б) число ребер в графе (число единиц в матрице D); в) общее количество путей, соединяющих пары вершии.

Перечисленные условия, которые характеризуют трудности проведения классификации, можно объединить в одну характеристику графа Г. с помощью понятия комбинаторной сложности графа, внеденной в [5]. Функция комбинаторной сложности графа представляется формулой [5]:

$$\chi(\Gamma) = \frac{1}{1 + 1} \sum_{i,j} \sum_{k} \gamma_{k}(i,j), \qquad (2)$$

где N, M число вершин и ребер графа; J) — число путей длины K из нершины X_i к вершине X_j . Функцию сложности (2) можно представить и в другом виде:

$$\chi(\Gamma) = \frac{N \cdot M}{N + M} \sum_{\substack{\{i,j\}\\i \neq j}} s_{ij}, \qquad (3)$$

где σ_{ij} — общая суммарная длина путей, соединяющих пару вершин i и J_{ij}

Очевилно, что значение функции сложности х (Г) графа Г зависит от значения порога значимости Т. Для упрощения процедуры классификации необходимо выбрать Т таким образом, чтобы функция (2) принимала минимальное значение, а от значения порога Т зависит и ошибка аппроксимации.

В искоторых алгоритмах классификации в качестве меры близостя между явумя объектами используется передача информации $I(X_I, X_I)$ по при этом не учитываются информационные взаимосвязи между тремя и большим числом объектов. В этом случае элементами матрицы связей A являются передачи информации между двумя объектами $a_{II} = I(X_I, X_I)$; $a_{II} = a_{II}$. После сравнения с порогом, передачам информации между двумя объектами присваиваются значения либо «1», либо «0» в соответствии с (1). Потерю информации вследствии аппроксимащии можно количественно оценить величиной

$$\Delta I = \left| \sum_{\substack{(i,j)\\(i,j)}} I\left(X_i, X_j\right) - \sum_{\substack{(i,j)\\i>f}} d_{ij} \right|, \tag{5}$$

Теперь задача определения оптимального значения порога значамости T сводится к определению такого значения T, при котором комбинаторная сложность графа Γ принимала бы минимальное значение, а нотеря информации (5) не превышала заданное значение. Математически это можно представить в ваде задачи математического программирования, т. е.

$$\min_{\Gamma} \chi(\Gamma),$$

$$\Delta I \leq \Delta I_{AOB}.$$
(6)

Задачу (6) можно решать поисковыми алгоритмами.

С ростом норога значимости T убывает число единиц в матрице D, следовательно, уменьшаются числа ребер и путей и графе Γ . Поэтому функция сложности $\gamma(\Gamma)$ является монотонно невозрастающей относительно порога значимости T, τ , е. при $\Delta T > 0$, $\Delta \chi(\Gamma) < 0$. Функция потери информации (5) состоит из разности двух членов, один из них $\sum I(X_i X_j)$ имеет постоянное значение, а второй $\sum d_{ij}$ — с ростом порога T монотонно убывает. Следовательно, по $\sum I(X_i X_j) < \sum a_{ij}$, нотеря информации ΔI с ростом T убывает. При некотором значении порога T_{in} , ΔI имеет минимальное значение. Начиная с этого значения рост порога T сопродождается монотонным ростом ΔI . Таким образом, при изменении T от T_{in} функция ΔI монотонно не возрастает, а при изменении T от T_{in} до 1 ΔI монотонно не убывает. T, е. является ушимодальной функцией от T.

Из свойств функций χ (Г) и M следует, что для решения задачи (6) можно применить итерационные алгоритмы граднентного типа. Построим функцию Лагранжа:

$$\Phi\left(T,\lambda\right)=\chi\left(\Gamma\right)+\lambda\theta\left(T\right),\tag{7}$$

где λ — неопределенный множитель Лагранжа, а $\Theta(T) = \Delta T_{\text{пол}} + \Delta I$. Решение задачи (6), которое соответствует минимуму функции (7), определяется итерационной процедурой вида:

$$T^{n-1} = T^n - a \left[\frac{\chi^n(\Gamma) - \chi^{n-1}(\Gamma)}{T^n - T^{n-1}} + \frac{\Theta^n - \Theta^{n-1}}{T^n - T^{n-1}} \right],$$

$$t^{n+1} = \max\{0, t^n + a\Theta^n\}, \tag{8}$$

$$a > 0,$$

где з параметр, характеризующий размер шага, а $\chi''(\Gamma)$, Θ^{-} , — значения соответствующих величин при значении порога \mathcal{T}^{+} . Значения $\chi(\Gamma)$ и Θ , как функции порога \mathcal{T} , имеют ступенчатый характер, поэтому итерационная процедура (8) при малых изменениях \mathcal{T} может остановиться в пологих областях функций $\chi(\Gamma)$ и Θ . Во избежание этого, функции $\chi(\Gamma)$ и Θ можно сглаживать операторами, либо сделать шаг α в процедуре (8) переменным.

При большом количестве классифицируемых объектов, вычисление к абинаторной сложности формулами (2) и (3) трудоемко, поэтому при больших значениях N можно пользоваться оценками функции сложности, приведенными в [5].

ЕрПП им К. Маркев

Поступило 26. V 1981

3ու Մ. ԴԱՍՊԱՐՏԱՆ, Վ. Մ. ՄՈՎՍԵՍՅԱՆ, Ա. Լ. ՆԵՐՍԵՍՅԱՆ

<mark>ՇԵՄՔԻ ՅՊՏԻՄԱԼ ՄԵԾՈՒԹՅԱՆ Ը</mark>ՆՏՐՈՒԹՅԱՆ ՀԱՐՑԻ ՎԵՐԱԲԵՐՅԱԼ ԳԱՄԱԿԱՐԳՄԱՆ ԽՆԴԵՐՆԵՐՈՒՄ

Ս. մփոփում

Դիտարկվում է դասակարգման խնդիրներում չեմքի օպաիմալ մեծության ալգորիթեւ Այդ խնդրի լուծման համար հայվի է առնվում դրաֆի կոմթինատոր բարդությունը։ Հոդվածում բերվում է չեմքի օպտիմալ մեծության բնտրման ալգորիթել, որը ապահովում է նվաղադույն բարդություն տրված սխալի մակարդակի դնպքում։ Դիտարկված ալգորիթեր կարելի է օդտագործել պատկերների Տանաչման, նույնականացման ժամանակ խնֆորմատիկ պարաժետրերի ընտրման խնդիրներում և այլն։

- J H T E P A T Y P A

- Бравержан Э. И. в. др. Двагонализания матряцы свяли я выявление скрытых факторов. Сб. «Проблемы расширения волможностей автоматов», вып. 1, М., «Наука», 1971.
- 2 Куперштох В. Л., Миркин Б. Г., Трофимов В. А. К обоснованию одного контерия классификации Сб. «Мегоды моделирования и обработка информации», Новосибирск, Сиб. отд. изд. «Паука», 1976
- 3. Warren L. C., Narendra Patrenahalli M., Fukunaga Reinosuke, A branch and Bound clustering algoritm. IEEE Trans. Comp., v. 24, № 9, 1975.
- 4 Бовер Р. Е. Некоторые методы классификации. Сб. пер. «Автоматический апализ сложных изображений», под. ред. Э. М. Бравермана, М., «Мир», 1969
- Minoll D. Combinatorical graph complexity. "Attl della Accademia nazionale dei Lincei, Rendiconti classe di Scienze fisiche, matematiche e naturall", v. 59, № 6, 1975.

Серия и хлических наук

ВЫЧИСЛИТЕЛЬНАЯ ТЕХНИКА

ф. А. ГРИГОРЯН, Р. Е. АРУТЮНЯП, Г. Г. БАГДАСАРЯН

ЗАЛАЧА ОПРЕДЕЛЕНИЯ ТЕХНИЧЕСКОГО УРОВНЯ ПРОМЫШЛЕННЫХ ИЗДЕЛИЙ

Технический уровень промышленных изделий в настоящее время определяется, и основном, путем экспертных оценок. Одновременно велутся работы по совершенствованию расчетного метода, в котором исключена экспертная оценка и ожидается относительно большая достоверность результатов.

В настоящей работе уточняются и дополняются исходные положения расчетного метода, сопоставляются разные постановки задачи.

В периом приближении обобщенный технический показатель изделия равен

$$K_i = a_{i1} x_1 + a_{i2} x_2 + \cdots + a_{in} i = 1, 2, \dots m, m = n,$$
 (1)

где a_{i1}, \dots, a_{in} известные технические показатели i-го изделия x_1, \dots, x_n — неизвестные коэффициенты весомости показателей.

Так как К, неизвестно, то система (1) становится определенной после введения дополнительных условий.

Разные постановки задачи расчетного метода отличаются дополивгельными условиями. Первая постановка задачи отличается условнем K=0. Принимается, что изделия, определяющие систему уравнения (1), имеют равные обобщенные технические показатели. Отметим, случай, когла все K_t равны, легко приводится к случаю $K_t=0$ преобразованием системы (1).

Метод стоимостных регрессионных зависимостей, приведенный в [1], можно характеризовать как задачу с условием $K_i = 0$. Здесь $K_i = 0$ неявное, оно приводит к несовместимости системы уравнений (1), что исключается определением x, не приравнивающих, а максимально пряближающих K_i к чулю. При такой постановке задача решается математическим методом наименьших квадратов [2].

В [3] задача решена при условнях $K_i = 0$, $(K_i = 1)$ и m = n. В этом случае несоиместимость исключена, однако не определены критерии аля выборки подсистемы с близкими значениями K_i

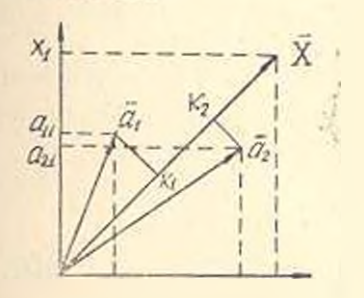
Вторая постановка задачи определяется условием $\lambda = 0$. Равенство нулю собственного значения λ матрицы подсистемы, образованной из системы уравнения (1), является необходимым, но недостаточ-

ным условнем равенства K, в подсистеме; такая задача поставлена в [4] и решена в [5].

Сравнительная точность решений при первой и второй постановках выявляется при геометрическом представлении задачи. *п*-мерная векторная геометрия успешно применена и рекомендована в [2] при обосновании метода наименьших квалратов. Систему уравнений (1) представим в виде:

$$K = A \cdot \overline{X},\tag{2}$$

где A — матрица элементов a выражения (1); X — вектор коэффициентов весомости.



Рас. 1 Векторное представление систем уравнений (1).

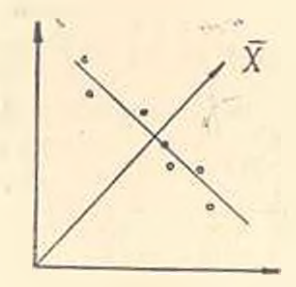


Рис. 2. Решение методом наименьших квадратов.

На рис. 1 приведено геометрическое представление выражения (2) для простого случая. Здесь каждому на векторов a_1 и a_2 соответ ствует одно изделие с показателями a_{11} , a_{12} и a_{13} проекции векторов a_1 и a_2 на вектор X определяют, соответственно, K_1 и K_2 . Проекции X на координатные оси определяют x_1 и x_2 . На рис. 2 представлено геометрическое решение, соответствующее методу наименьших квадратов. Точки на рисунке представляют вершины векторов a_1 . Решению соответствует линия (направление вектора X), проведенная через начало координат перпенликулярно к аппроксимирующей линии, проходящей через множество точек.

На рис. З приведен характерный случай получения разных результятов при разных постановках задачи. В рассматриваемом случае точки (концы векторов a_t) расположены на равностороннем треугольнике. Решение по методу наимельших квадратов неустойчивое и малые отклонения a_t приводят к одному из трех совершенно разных решений.

Условие $\lambda=0$ определяет гри решения, соответствующие трем ликиям рисунка 3. Так как заранее известны знаки проекции вектора X, то из полученных решений выделяется искомое.

Третья постановка задачи отличается условием постоянства слагающих K_t . Для изделий равного технического уровня часто может иметь место случай, когда составные части обобщенного показателя технического уровня K_t также являются постоянными. Выделение постоянных слагающих позволяет определить связи вида $a_1 = \int_1^1 (a_1, a_2)$: $a_{\pm}=f_{\pm}\left(a_{s},\;a_{s}\right)$, тогда обобщенный технико-экономический показатель можно представить в виде

$$K = \frac{a_1}{f_1(a_3, a_4)} + \frac{a_2}{f_2(a_3, a_4)} \tag{3}$$

Покажем возможность аналитического представления обобщенного показателя технического уровня в отдельных случаях, в частности, когда каждое из устройств образуется добавлением звеньев одного типа. Путем подключения параллельных и последовательных диодов составим

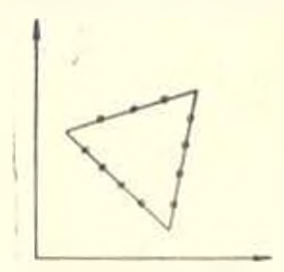


Рис. 3. Решение определением соостиения о значения матрицы.

выпрямляющие устройства" разных токов и напряжений. Для выпрямительного устройства введем обозначения: S = стоимость; V = объем; T = надежность; I = ток; U = напряжение.

Здесь U и I= величины, приведенные κ одному дводу.

Так как произведение /// определяет колв-

$$S = x_1 UI; \quad V = x_2 UI; \quad T^{-1} = x_3 UI,$$
 (4)

где x_1, x_2, x_3 — коэффициенты пропорциональности.

Принимая технический уровень постоянным, обобщенный показатель, согласно выражению (3), представится в виде:

$$R = (x_1^{-1}S + x_2^{-1}V + x_2^{-1}T^{-1})\frac{1}{UI}$$
 (5)

Здесь основные технико-экономические показатели приведены в одному показателю мошности, что привело к выделению коэффициентов весомости. Возможность такого решения указана в [6] на примерт оценки проектов кораблей. Оценим точности представления функция технического уровня через многомерный ряд.

Проведенный анализ числовых данных одного класса вторичных источников электропитания показал, что связь технико-экономических показателей лостаточно точно представляется выражением

$$V = c_1 + (c_2 + c_3 U) I, \qquad S = c_4 + (c_5 + c_4 U) I, \tag{6}$$

где c_i , c_i , ..., c_i — постояниме величины. Тогда, согласно выражению (3):

$$K = \frac{V}{c_4 + (c_2 + c_4 U)I} + \frac{c_4 + (c_2 + c_4 U)I}{c_4 + (c_3 + c_4 U)I}.$$

Выражение (7) весьма приближенно может быть представлению ограниченным рядом в виде системы (1). Расширение ряда, с целью попышения точности представления, приводит к большому числу нейвестных постоянных. В большинстве задач, представляющих пряктический интерес, в системе (1) т превышает п не более, чем и 2—3 разчто затрудняет определение большого количества постоянных.

Предварительное выявление постоянных составляющих функции технического уровия позволяет уточнить вид функции и, как следствие, повышать точность расчета. При этом целесообразно отделить показатели, определяющие назначение изделия (выходные токи и напряжения в случае блоков питания) от таконых, определяющих необходимые издержки (цены, объем в случае блоков питания). Отношение каждого переменного второй группы к функции от переменных первой группы определяет составную часть обобщенного показателя технического уровия.

ЕрНИИММ

Поступило 10. VIII. 1981

Ֆ. <u>Հ. Գրիգոր</u>ցու_{ն,} թ. _{Ե. Հ}ուրդիթերինելու, Գ. գ. բողգոսնուն

ԱՐԳՅՈՒՆԱԲԵՐԱԿԱՆ ԱՊՐԱՆՔՆԵՐԻ ՏԵՒՆԻԿԱԿԱՆ ՄԱԿԱՐԳԱԿԻ ՈՐՈՇՄԱՆ ԽՆԳԵՐԸ

lk of den den i of

Դիտարկվում են դրույքներ, որոնք հիմնված են մատրիցայի սնփական արժերների և տեխնիկական մակարդակի ցուցանիշի բաղադրիչ մասերի անփոփոխության դնահատման վրա։

Ցույց է արվում այդ գրույքնների արդյունուվետությունը միայն Հայանի ամենավութը քառակուսիների մաքենատիկական մեքիոդի հիման վրա խնդրագրման ստացվող արդյունքի նկատմամբ։ Լուծման ճշատքյունը դնահատվում է տիպիկ օրինակում՝ խնդիրը դիտարկելով վեկտորային երկրաչափության տեսանկյունով։

Համասեռ և բարդ կառուցվածըով սարջերի համար դուրս են բերված տեխնիկական ցուցանիչների մակեմատիկական արտահայասւթյունները։

Ստացված արտաքայտությունը ցույց է տալիս, որ դիտարկվող դեպքում ճշտությունը ավելի բարձր է, բան քայանի ղեպքում, երբ ֆունկցիան ընդքահուր տեսքով պատկերացվում է որպես մի քանի փոփոխականների ռեղրեսիայի շարջի առաջին մոտարկում։

ЛИТЕРАТУРА

- Методика оценки уровия качества продукции с помощью комплексных показателей и индексов. М., «Стандарты», 1974, с. 18—20.
- 2. Колиогоров А. Н. К обоснованию метода наименьших квадратов. «Успехи математических наук», т. І. вып. І. (11), 1946, с. 57—70.
- 3 Григорян Ф. А. Ларбинян А. А. Общий критерии для опенки ряда модифицироиливых устройств на основе технихо-экономических статистических показателея. Вопросы радиоэлектроники», сер. ЭВТ, вып. 6, 1969, с. 110—114.
- 4 Григоряв Ф. А. Задача определения качества налелий. ДАН Арм. ССР, т. 1 XII, № 3, 1976, с. 129—131.
- Тригоряя Ф. А. Амбаряя 1 Ш. Оценка технико-экономического урония изделяй.
 Вопровы радиоэлектропики», сер ЭВТ, имп. 14, 1980. с. 108—112.
- Крымов А. И. Об оценках, представленных на конкурс проектов. Собр. соч., т. 1, ч. 1 М. Л., «Наука», 1951, с. 248

Տեխնիկակուն գիտութ, սեբիա

XXXV. № 2, 1982

Серия технических науч

ГИДРАВЛИКА

О В ТОКМАДЖЯН

РАСЧЕТ НЕРАВНОМЕРНОГО ДВИЖЕНИЯ ЖИДКОСТИ В ОТКРЫТЫХ РУСЛАХ С ЗАДАННОЙ СВОБОДНОЙ ПОВЕРХНОСТЬЮ

В переходных участках каналов, безнапорных трубах и гидротехнических сооружениях часто имеет место неравномерное движение жидкости.

Помимо решения прямой задачи: определения кривой свободной поверхности при заданной форме и законам изменений по пути русля, представляет интерес и решение обратной задачи, т. е. определение размеров русла при задачной свободной поверхности.

Допустим, функция криной свободной поверхности имеет вид: $z=f\left(l\right)$. Для вывода лифференциального уравнения неравномерного движения жидкости напишем уравнение Бернулли относительно двух сечений, отдаленных на расстояние dl

$$\frac{d}{dl}\left(z + \frac{xv^2}{2g}\right) = -J,$$
(1)

где z — ордината свободной поверхности произвольного сечения. Остальные обозначения общепринятые.

Преобразуя (1) и выражая гидравлический уклон по формуле Шези, получим дифференциальное уравнение неравномерного движения жидкости относительно $\frac{d^m}{dt}$:

$$\frac{dw}{dl} = \frac{dz}{dl} \frac{gw^3}{\pi C^2} + \frac{gw}{\pi c^2 R},$$
(2)

Анализ уравнения (2) показывает, что переход через критическую глубину происходит непрерывно.

Интегрирование дифференциального уравнения (2) производится на ЭВМ. В частном случае свободную поверхность представим в вяде наклонной плоскости. Практический интерес представляет решение задачи при полукруглом, прямоугольном и транециадальном поперечном сечениях русла.

1. Рассмотрим движение жидкости в канале с полукруглым поперечным сечением, кривая снободной поверхности которой меняется по липейному закону $z=z_0+\beta t$, где $\beta=\operatorname{tg} b$. Для полукруглого поперечного сечения (рис. 1) гидравлические параметры будут:

$$\omega = r^{2} \left(\overline{\tau} - \frac{\sin 2\varphi}{2} \right); \qquad R = r \left(\frac{1}{2} - \frac{\sin 2\varphi}{4\varphi} \right);$$

$$c = \frac{1}{n} r^{2} \left(\frac{1}{2} - \frac{\sin 2\varphi}{4\varphi} \right)^{y}. \tag{3}$$

где г и э — переменные величины произвольного сечения.

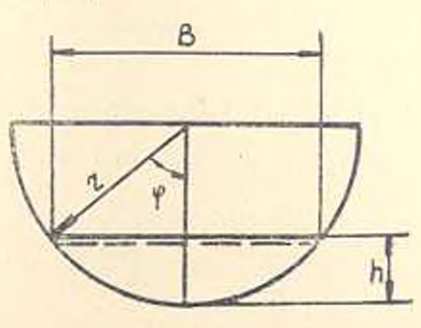
Представим полный дифферен-

циал $\frac{d\omega}{dI}$ в виде:

$$\frac{d\omega}{dl} = \frac{\partial\omega}{dl} + \frac{\partial\omega}{\partial\varphi} \frac{d\varphi}{dl} \tag{4}$$

Подставляя эти выражения в (2) и

замечая, что $\frac{d^2}{dt} = -3$, получим:



Par. I.

$$\frac{\partial^{\omega}}{\partial l} + \frac{\partial^{\omega}}{\partial \varphi} \frac{d\varphi}{dl} = -\beta \frac{gr^{5} \left(\varphi - \frac{\sin 2\varphi}{2}\right)^{3}}{\alpha Q^{2}} + \frac{gn^{2}r^{1+2y} \left(\varphi - \frac{\sin 2\varphi}{2}\right)}{\alpha \left(\frac{1}{2} - \frac{\sin 2\varphi}{4\varphi}\right)^{1+2y}}.$$
 (5)

Раднус в произвольном сечении, в зависимости от переменного угла. будет

$$r = \frac{r_0 \cos \varphi_0 + \beta l}{\cos \varphi}.$$
 (6)

где r_0 и 💼 — параметры начального сечения.

Учитывая (6), находим частные производные $\frac{\partial \omega}{\partial t}$ и $\frac{\partial \omega}{\partial \phi}$:

$$\frac{\partial \omega}{\partial l} = 2\beta - \frac{\sin 2\omega}{2} (r_0 \cos \varphi_0 + \beta l); \tag{7}$$

$$\frac{\partial w}{\partial \varphi} = (r_0 \cos \varphi_0 + \beta l)^2 \varphi \frac{\sin 2\varphi}{\cos^4 \varphi}. \tag{8}$$

Дифференциальное уравнение неравномерного движения жидкости в канале с полукруглым поперечным сечением, кривая свободной поверхности которой меняется линейным законом, примет следующий вид:

$$\frac{d\varphi}{dl} = \frac{\beta g \left(r_0 \cos \varphi_0 + \beta l\right)^4 \left(\varphi - \frac{\sin 2\varphi}{2}\right)^3}{\varphi^2 Q^2 \cos^2 \varphi \sin 2\varphi} \frac{\beta \cos \varphi \left(\varphi - \frac{\sin 2\varphi}{2}\right)}{(r_0 \cos \varphi_0 + \beta l) \varphi \sin \varphi} + \frac{g n^2 \cos^3 \varphi^2 \varphi \left(\varphi - \frac{\sin 2\varphi}{2}\right)}{\alpha \varphi \sin 2\varphi \left(r_0 \cos \varphi_0 + \beta l\right)^{1+2\varphi} \left(\frac{1}{2} - \frac{\sin 2\varphi}{4\varphi}\right)^{1+2\varphi}}$$
(9)

При β = 0 (горизонтальная свободная поверхность) (9) примет вид:

$$\frac{d\varphi}{dl} = \frac{gn \cdot \cos^{3-1}\varphi\left(\mp - \frac{\sin 2\varphi}{2}\right)}{2\pi^{1-2y}\cos^{1-2y}\varphi_0\sin 2\varphi\left(\frac{1}{2} - \frac{\sin 2\varphi}{4\varphi}\right)^{1-2}}$$
(10)

В случае, когда — (полное наполнение полукруглого канала), уравнение (2) решается аналитически относительно переменного радиуса:

2. Рассмотрим движение жилкости в канале с прямоугольным поперечным сечением.

Гидравлические параметры для прямоугольного сечения будут-

$$w = bh; \quad R = \frac{bh}{2h+b}; \quad c = \frac{1}{n} \left(\frac{bh}{2h+b}\right)^{y} \tag{12}$$

Определим конфигурацию канала при заданном законе изменения ширины русла по пути $b=f\left(l\right)$ и законе изменения криной свободной поверхности $z=f\left(l\right)$.

Преобразуя (2) с учетом (12), представим полный дифференциал $\frac{d\omega}{dl}$ и виде:

$$\frac{d\omega}{dt} = \frac{\partial}{\partial t} = \frac{\partial\omega}{\partial h} = \frac{\partial h}{\partial t} \tag{13}$$

Так как $\frac{\partial \omega}{\partial h} = b$, для данного случая получим:

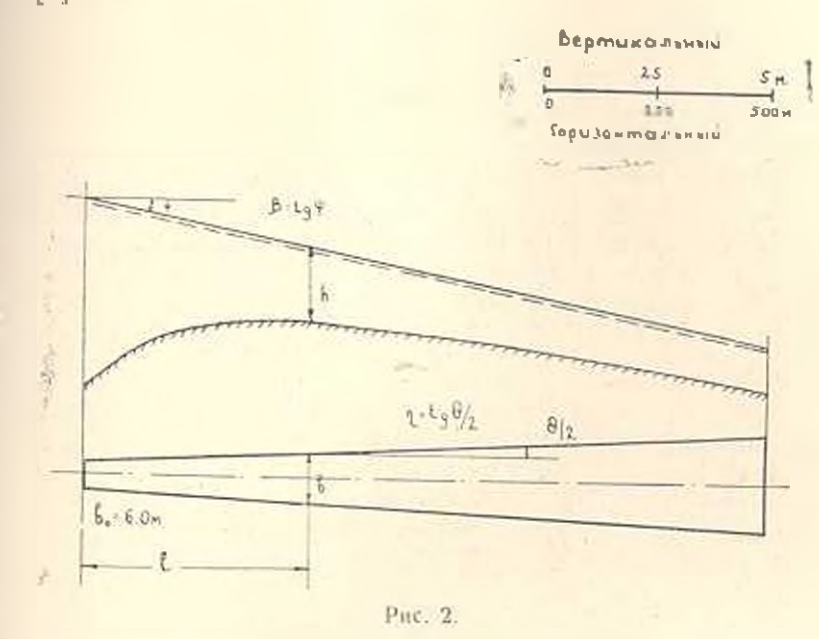
$$\frac{dh}{dt} = -\frac{\partial \omega}{\partial t} \frac{1}{b} \div \frac{dz}{dt} \frac{gb^2h^3}{2Q^2} \div \frac{n^2g(2h+a)}{2b^{1+2y}h^2} \tag{14}$$

Если законы изменения кривой свободной поверхности и ширины русла по пути линейные $-z=z_0-3l;$ $b=z_0+\gamma l,$ гле $z=\log \gamma$, $z=\log \frac{\theta}{r}$ то уравнение (14) примет вил:

$$\frac{dh}{dl} = -\frac{\eta_1 h}{\pi} - 3 \frac{2h + \eta l^{1+2\nu}}{\pi Q^2} + \frac{2h + \eta l^{1+2\nu}}{\pi (b_0 + \eta l)^{1-2-3}}$$
(15)

Пример. Требуется определить конфигурацию бетонного (n=0.017) прямоугольного расширяющегося канала при коэффициентах расширения в плане $\eta=0.01$ и наклона свободной поверхности $\beta=0.002$. В начальном сечении глубина воды $h_a=4$ м.

На рис. 2 приведена конфигурация канала для вышеуказанных данных. Расчет произведен на ЭВМ «Напри-2» методом, разработанным в [1].



Для призматического канала с горизонтальной свободной поверхвостью уравнение (15) примет вид:

$$\frac{dh}{dt} = \frac{n^2 g \left(b_0 + 2h\right)^{1+2y}}{ab^{1+2y}h^{2y}} \tag{16}$$

Аналогичными преобразованиями получим лифференциальное уравнение при заданном изменении глубины русла

$$\frac{db}{dt} = -\frac{\partial \omega}{\partial t} \frac{1}{h} + \frac{dz}{dt} \frac{gb^3h^2}{\alpha Q^2} + \frac{gn^2(2h+b)^{1/2y}}{\alpha b^{2y}h^{1+2y}}$$
(17)

Если эаконы изменения кривой свободной поверхности и глубины русла по пути линейные $z=z_0+3t,\ h=h_0+\lambda t$, то уравнение (17) примет вид:

$$\frac{db}{dl} = -\frac{\lambda b}{(h_0 + \lambda l)} - \frac{\beta g \dot{o}^3 (h_0 + \lambda l)^2}{\lambda Q^2} + \frac{g n^2 (b + 2h_0 - 2\lambda l)^{1+2y}}{\alpha (h_0 + \lambda l)^{1+2y} b^{2y}}$$
(18)

а при λ = 0 и β = 0 (канал постоянной глубины с горизонтальной своболной поверхностью) —

$$\frac{db}{dl} = \frac{gn^2 (b + 2h_0)^{1+2y}}{2h_0^{1-2y}b^{2y}}$$
 (19)

 Рассмотрим исравномерное движение жидкости в каналах трапециадального сечения (рис. 3). Гидравлические параметры будут:

$$m = \operatorname{clg} \alpha, \quad \omega = h (b + mh); \quad R = \frac{h (b + mh)}{b + 2h \sqrt{1 + m^2}};$$

$$= \frac{1}{n} \frac{h^2 (b + mh)^3}{(b + 2h \sqrt{1 + m^2})^3}.$$
(20)

Преобразуя (2), получим:

$$\frac{dh}{dl} = \frac{\partial \omega}{\partial l} \frac{1}{b + 2mh} = \frac{dz}{dl} \frac{gh^{3} (b + mh)^{3}}{(b + 2mh)^{2} Q^{2}} + \frac{gn^{2}}{\alpha} \frac{1}{h^{-1} (b + mh)^{-y} (b + 2mh)}$$
(21)

Если законы изменения кривой свободной поверхности и ширины русла по пути линейные $z=z_0+\beta t,\;\;b=b_0+\eta t,\;$ то ураннение (21) примет вил:

$$\frac{dh}{dl} = \frac{gh^{3}(h_{0} + l - mh)^{3}}{b_{0} + 2mh + 2Q^{2}(b_{0} + l + 2mh)} - \frac{gn^{2}(b_{0} + \gamma_{l}l + 2h + 1 + mh)^{-y}(b_{0} + l + 2mh)}{ah^{-y}(b_{0} + \gamma_{l}l + mh)^{-y}(b_{0} + l + 2mh)}$$
(22)

а при $\beta=0,\ \eta=0$ (призматический канал с горизонтальной свободной поверхностью)

$$\frac{dh}{dt} = \frac{(b+2h)\sqrt{1+m^2}}{a^{2\gamma}(b-mh)^{-\gamma}(b+2mh)}$$
(23)

Выводы

- 1. При расчете неравномерного движения жидкости в открытых руслах при заданном изменении кривой свободной поверхности за расчетное нужно принять дифференциальное уравнение (2).
- 2. Анализ дифференциального уравнения (2) показывает, что при заданной кривой свободной поверхности переход через критическую глубину происходит непрерывно.
- 3. Полученные дифференциальные уравнения, в основном, интегрируются на ЭВМ, а в некоторых простых случаях — аналитически.

ЕрПИ им. К. Маркса

Поступнао 21. VI 1981

. 4. Pheruysuv

րս» Հորսերորը «ԲՎԱԾ ԱԶԱՏ ՄԱԿԵՐԵՎՈՒՑԹՈՎ ՀԵՂՈՒԿԵԵՐԻ ԱՆՀԱՎԱՍԱՐԱՉԱՓ ՇԱՐԺՄԱՆ ՀԱՇՎԱՐԿԸ

Անվորդում

Ստացված է տրված ազատ մակերևույթի կորով նեղուկների անհավասարաչափ շարժման դիֆերևնցիալ հավասարումը ընդհանուր ձևով և մասնա կիորևն՝ կիսակլոր, ուղղանկյունի և սեղանաձև կտրվածքով հուների համարւ Ստացված դիֆֆերենցիալ հավասարումները մեծամասամբ ինտեղրվում են ԷՀՄ-ի միջոցով, իսկ որոշ պարդ դեպքերում՝ վերլուծական հղանակով։ Լուծված է թվային օրինակ։

ЛИТЕРАТУРА

1. Токмаджям В. О. К интегрированию дифференциального уравнения неравномерного движения жилкости в открытых руслах. «Межвуз. сб. науч. тр. ЕрПИ. Строительство и архитектура», сер. XII, вып. 3. Ереван, изд. ЕрПИ, 1977, с. 149—152. Տեխնիկական գիտութ, սեբիա

XXXV. № 2, 1982

Серия тех ических тух

НАУЧИЫЕ ЗАМЕТКИ

Э. М. АГАБАБЯП , В Г. КОЧАРЯН, А. С. ОВАКИМЯН

МАТЕМАТИЧЕСКАЯ МОДЕЛЬ ДВИГАТЕЛЯ ТИПА ДСР ПРИ ПИТАНИИ ОТ ОДНОФАЗНОЙ СЕТИ

В исполнительных механизмах постоянной скорости все большее применение находят синхронные двигатели с электромагнитной редукцией частоты вращении типа ДСР. Это объясияется стремлением максимально приблизить исполнительный двигатель к рабочим органам и упростить кинематические цени. Определение статических и динамических характеристик двигателей типа ДСР позволяет перейти к проектированию и созданию регулируемых тихоходных электроприволов малой мощности, обладающих пысокой экономичностью и надежностью, быстродействием и малыми габаритами. С этой целью поставлева запача создания математической модели типа ДСР, позволяющая исследовать переходные и квазиустановившиеся режимы при питании от однофазной сети.

Актуальность рассматриваемой темы обусловлена также тем, что двигатели данного типа серийно выпускаются в республике. Предлагается также выпуск регулируемых электроприводов на базе двигателей типа АСР.

На рис. 1 приведена схема соединения обмоток двигателя ДСР к однофалной сети. Математическая модель составлена при следующих допушениях: магнитная система принимается ненасыщенной, т. е. индуктивности фаз являются функциями только углового положения ротора Ө: высшие гармоники в кривых индуктивностей фаз не учитываются; величины коэффициентов взаимопидуктивности обмоток несоседних полюсои пренебрегаем; дволы моделируются как идеальные ключи.

Потокоспепление ј той фаны равно:

$$\Psi_{j} = \sum L_{ji}(\Theta) h_{j}, \tag{1}$$

где L_n — коэффициент собственной индуктивности j-той фазы, когда j=i, и коэффициенты взаимоиндуктивностей соседних фаз, когда j=i. Каждая из величин L_n экспериментально определена и аппроксимирована функциями нида:

$$L_{H}=d_{Ji}+a_{Ji}\cos{(\Theta)}.$$

Электромаглитный момент АГ можно определить с помощью известного соотношения [1]:

$$M = \frac{1}{2} \sum_{i=1}^{n} \left(I_j^2 \frac{dI_{-jj}(\Theta)}{d\Theta} + 2I_j I_{N+1} \frac{dI_{N,-j+1}(\Theta)}{d\Theta} \right). \tag{2}$$

Уравнение электрического равновесня /-той фазы запишется и следующем виде:

$$U_{j} = I_{j} (R_{j} + z_{j} R_{d}) + \frac{d\psi_{j}}{dt},$$
 (3)

где U_j — напряжение, прикладываемое к j-той фазе; α_j — коэффициент, учитывающий введение добавочного сопротивления R_j в цепь фазы двигателя; $\alpha_j=0$, когда диод соответствующей j-той фазы пропускает ток; $\alpha_j=1$, когда диод j-той фазы не пропускает ток.

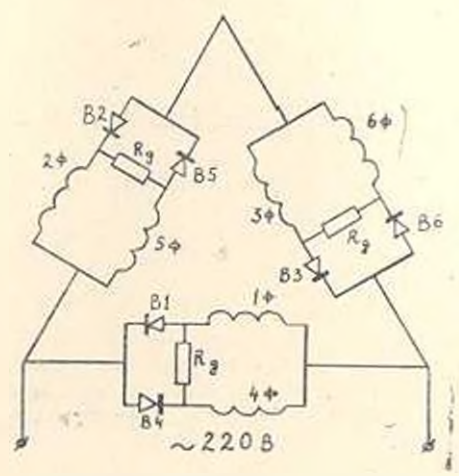


Рис. 1. Схема спелинения обмоток лингателя к однофизиой сети

Согласно схеме, приведенной на рис. 1. левые части дифференциальных уравнений (3), соотнетстиение, равны;

$$U_1 = U_2 = U_1$$
; $U_3 = U_4 = U_c$; $U_5 = U_6 = -U - U_c$.

где $U_{\rm c}U_{\rm c}$ — напряжение однофазной сети и на конденсаторе с емкостью $C_{\rm c}$

Величину Uc можно определить на следующего уравнения:

$$\frac{dU_{c}}{dt} = \frac{I_{c}}{G} = \frac{I_{s} - I_{s} - I_{s} - I_{s}}{G},\tag{4}$$

где I_c — ток, проходящий по цени конденсатора. Уравиение движения записывается в виде:

$$M = M_c + J \frac{d\omega}{dt}; \qquad \omega = \frac{d\theta}{dt}. \tag{5}$$

где $M_{c_1}J$ — приведенные момент сопротивления и момент инерции:
п — угловая скорость вращения ротора.

Математическая молель двигателя ДСР представляется системой шести алгебранческих ураниений (1), уравнением (2), изестью дифференциальными уравнениями (3), уравнениями (4) и (5).

При однофазной схеме включения двигателей типа ДСР особый интерес представляет определение вращающего результирующего вектора м.д.с. При условии равенства числа витков каждой фазы, можно перейти от результирующего вектора м.д.с. к результирующему вектору тока.

В данном случае при решении системы вышеперечисленных уравнений, токи фаз определяются в системе неподвижных координат а, b, c. Болсе удобен расчет результирующего вектора тока в ортогональной системе координат а, 8, где ось в совиалает с осью в.

Модуль результирующего вектора тока:

$$I = V(\overline{I_{\gamma}^2 + I_{\beta}^2}), \tag{6}$$

rge
$$I_{*} = I_{1} + I_{2} - \frac{I_{1} + I_{1} + I_{2} + I_{3}}{2}$$
, $I_{2} = \frac{1\overline{3}}{2}(I_{3} + I_{4} - I_{5} - I_{4})$.

Угол, образуемый вектором 1 с осью 3:

$$\phi = arg \ tg \frac{I_u}{I_0} \cdot$$

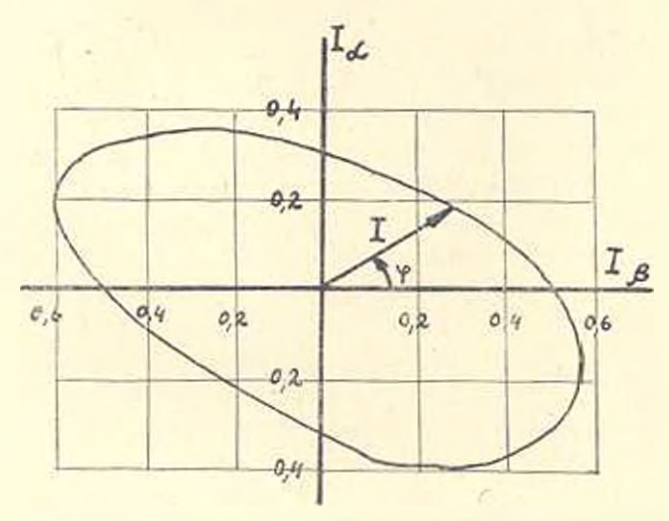


Рис. 2. Траектория вращения результирующего вектора тока при $M_{\rm c}=1.2~H_{\rm c}$ и $J=0.01~H_{\rm c}$

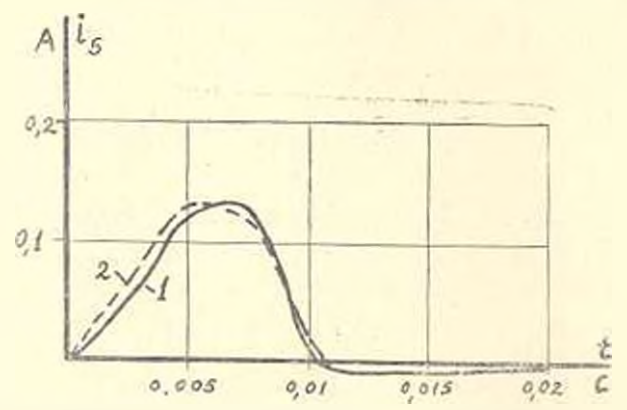


Рис. 3. Экспериментальный (1) и расчетный (2) графики тока в иятой фазе двигателя.

На основании всех вышеперечисленных соотношений составлены программы для расчета пуска двигателя под нагрузкой, а также определения траектории вращения результнрующего вектора тока, когда двигатель работает и квазиустановившемся режиме. Расчеты проводились на EC1022.

На рис. 2 приведен годограф тока.

Адекватность предлагаемой модели проверена путем сравнения расчетов с экспериментально снятыми характеристиками. Результаты расчетов достаточно хорошо согласуются с экспериментальными данными, что иллюстрируется на рис. 3.

ЕрПИ им. К. Маркса

Поступило 20 Х 1981

ЛИТЕРАТУРА

Шмиц Н., Новотный М. Впедевие в электромеханику М., «Энергия», 1960.

PAQUESUPE OF BUPE

	CI
ՄեՔեՆԱՇԻՆՈՒԹՑՈՒՆ	
4. Մ. Եղիյյան։ Կարդավորվող ժեխանիդժեհրի նախագծումը գծային ֆունկցիայի երկու բառողակ գևներատորների զուգակցման հղանակով	. 3
րաբերկալ	
ՇԻՆԱՐԱՐԱԿԱՆ ՄԵԽԱՆԻԿԱ	
Ա. Ա. Հովսեփյան, Ս. Ս. Գաբրինյան։ Սեյսժակայունության տեսության Հակադարձ խնդրի լուժման Հարցի մասին՝ առաձգա-պլաստիկ Համակարդնրի Համար	16
ԷՆԵՐԳԵՏԻԿԱ	
Ռ. Հ. Ամիբիկյան, Ի. Ի. Շաբաբիսասյան։ Կառավարվող էլեմենաննրով է ց նկարակծորգնաի- դական համակարգերի հաստատված ռեժիմի ուղղումը	21
ցրգողնոնն «Եթթերոն	
II. II. ՇԱՂԳԱՄՅԱՆ։ Ջերմաստիձանի թվային չափիլ սարրերի կառուցվածջային հա- խագծման հարցերը	27
ՀԱՇՎՈՂԱԿԱՆ ՏԵԽՆԻԿԱ	
նու Մ. Գասպարյան, Վ. Մ. Մովսեսյան, Ա. Լ. Ներսևոյան։ Դասակարդման իւնդիրներում Հեմերի օպտիմալ մեծության ընտրության հարցի վերաբերյալ	32
S. Հ. Գրիզոբյան, Ռ. Ե. Հաշությունյան, Դ. Գ. Ռաղգասաբյան։ Արդյուհարհրական ապ- րահջների անխնիկական մակարդակի որոչմահ խնդիրը	36
ՀԻԳՐԱՎՀԻսԱ	
Հ. Վ. Թոքվասյան։ Բաց Հուհերում արված ազատ մակերևույնով Հեղուկների ահՀավասա- րաչափ չարժման հաչվարկը	40
գրչական հոթեր	
է. Մ. Ադարաբյան , Վ. Հ. Քոչաբյան, Ա. Ս. Հովակիմյան։ ԴԱՐ ժակերչի շարժիչի ժա-	
թեմատիկական մոդելը միաֆաղ ըանցից սնման դեպքում	46

СОДЕРЖАНИЕ

	Cip.
машиностроение	
К. М. Егишян. Проектирование регулируемых механизмов путем комбинирова- ния двух четырехзвенных генераторов линенной функции П. М. Есаян. К вопросу об апериодической неустойчивости токарного станка	3 9
строительная техника	
С. С. Дарбинян, А. А. Онсепян. К попросу решения обратной задачи теории сей- смостойкости для упруго-яластических систем	ŧi
энергетика	
Р. А. Амирикян, И. И. Ширибханян Коррекция установнишегося режима электроэнергетической системы с управляемыми элементвии	21
измерительная техника	
С. С. Шахкамян Вопросы структурного построения инфровых измерителей температуры	27
вычислительная техника	
Ю. М. Гаспарян. В. М. Мовспеян. А. Л. Нерсесян. К вопросу выбора оптимильного значения порога в задачах классификации	32 36
ГИДРАВЛИКА	
О. В. Токмаськая Расчет перавномерного движения жидкости в открытых руслам с заданной спободной поверхностью	10
научные заметки	
3. М. Аспоабии , В. Г. Кочарии, А. С. Опикимин. Математическая молель ави- гателя типа ДСР при питвини от однофазной сети	16